



## RAPPORT

OPPDRAKSNAVN: Fv17 Holm Ferjeleie

EMNE: Prosjekterings rapport Geoteknikk

DOKUMENTKODE: 1001623-GEO-002-20220525





Med mindre annet er skriftlig avtalt, tilhører alle rettigheter til dette dokument **WSP Norge AS**.

Innholdet – eller deler av det – må ikke benyttes til andre formål eller av andre enn det som fremgår av avtalen. WSP Norge har intet ansvar hvis dokumentet benyttes i strid med forutsetningene. Med mindre det er avtalt at dokumentet kan kopieres, kan dokumentet ikke kopieres uten tillatelse fra WSP Norge.



## RAPPORT

**Oppdragsnavn:** Fv17 Holm Ferjeleie

**Oppdragsgiver:** Nordland fylkeskommune

**Kontaktperson:** Egil Bernhardsen

**Emne:** Prosjekterings rapport Geoteknikk

**Dokumentkode:** 1001623-GEO-002-20220525

**Ansvarlig enhet:** Geo

**Utført av:**

FH, XVM & OS

**Tilgjengelighet:** Åpen

**Dato:**

25.05.2022

### SAMMENDRAG:

Vid prosjekteringen av fv.17 Holm ferjeleie (Bindal kommune, Nordland fylke), der ferjeleiet skal oppgraderes med blant annet større område for oppstillingsplasser og det vil være behov for å fylle ut i sjø, har geotekniske grunnundersøkelser og vurderinger utført.

Inom området for oppstillingsplassene er det mellom 0 og 8 m siltig leire. Det er ikke påvist kvikkleire eller sprøbruddmateriale i undersøkerne/prøveseriene.

Utførte stabilitetsberegningene viser at det inom den del av området vil være nødvendig med geotekniske tiltak for å oppnå tilstrekkelig stabilitet av planlagte fyllinger. I beregningene er dette oppnådd ved å legge ut en motfylling inntil fyllingsfot mellom ca. profil 130 til ca. profil 190.

Utførte setningsberegninger viser en forventet setning på maksimalt ca. 20-25 cm hos utfyllingen. Setningen forventes skje relativt raskt og inom løpet av de første 12 månederne forventes ca. 90% av setningerne ha skjedd. I hensyn til det forventede raske tidsforloppet for settningen hos utfyllingen anses settningernes størrelse vara akseptabel og håndterbar i byggefasen.

Ytan av utfyllingen ska bli utført med sikring for bølgeerosjon av sprengstein. Midlere steindiameter for bølgeerosjonssikring skal være 600 mm.

REV.	DATO	BESKRIVELSE	UTARBEIDET AV	KONTROLLERT AV	GODKJENT AV
0.0	25.05.2022	Prosjekterings PM Geoteknikk	Freja Hoflund / Ola Skepp	Xavier Miquel Vidal	Arild Eskildsen



## INNHOLDSFORTEGNELSE

1.	Innledning.....	5
2.	Grunnlag .....	5
3.	GRUNNFORHOLD .....	6
3.1.	Kvantærgeologi .....	6
3.1.1.	Kvikkleire .....	6
3.1.2.	Berggrunn .....	7
4.	GEOTEKNISK VURDERING.....	7
4.1.	Geoteknisk kategori .....	7
4.2.	Geotekniske egenskaper og materialparametere.....	7
4.3.	STABILITETSVURDERINGER .....	9
4.3.1.	Sikkerhetskrav for stabilitetsvurderinger .....	9
4.3.2.	Beregningsverktøy .....	9
4.3.3.	Grunnlag for stabilitetsvurderinger.....	9
4.3.4.	Lokalstabilitet .....	10
4.4.	Setningsvurderinger.....	13
4.4.1.	Leirens setningsegenskaper .....	13
4.4.2.	Setningsberegninger og vurdering .....	13
5.	Sikring mot bølgeerosjon .....	15
6.	Rystelsekrav.....	16
7.	Referanser .....	18

## VEDLEGG

- A. *Stabilitetsberegninger (profil 100, 130, 160)*

## 1. INNLEDNING

WSP Norge AS er engasjert av Nordland fylkeskommune for at utføre geotekniske grunnundersøkelser og vurderinger i forbindelse med utbygging av Fv17 ved Holm ferjeleie.



Figur 1: Oversiktskart over tiltaksområdet.

Grunnundersøkelser ble utført av Statens vegvesen i uke 11 og 12 i 2022. Resultatene er presentert i en separat datarapport /1/.

Foreliggende rapport inneholder vurderinger av de geotekniske forholdene basert på utførte grunnundersøkelser.

Prosjektrapporten redegjør for følgende:

- Geotekniske forhold
- Stabilitet ved utbygging av ferjeleie
- Hvilke stabiliserende tiltak som er nødvendige
- Setninger ved utfylling i sjø
- Sikring mot bølgeerosjon

## 2. GRUNNLAG

Tidligere utførte grunnundersøkelser og produserte rapporter samt nye undersøkelser er brukt som grunnlag i denne rapportens vurderinger:

- Statens vegvesen. Geoteknikk – Detaljregulering for fv.17 Holm ferjeleie. 50932-GEOT-01. 13-06-2018.
- Statens vegvesen. Geologi – Fv. 17 Holm ferjeleie, Geologisk rapport til reguleringsplan. 50984-GEOL-01. 19-06-2018.
- WSP Norge AS. Datarapport geoteknisk grunnundersøkelse - Fv17 Holm Ferjeleie. 25.05.2022

### 3. GRUNNFORHOLD

#### 3.1. KVARTÆRGEOLOGI

Det er hovedsakelig fjell-i-dagen og fyllmasser i veien og- oppstillingsområdet iht. NGUs kvartærgeologiske kart (jf. Figur 2) og utførte geotekniske grunnundersøkelser. Ved kulverten, i den nordre delen av oppstillingsområdet er det en leireforekomst (ca. 3-5 m) under veifyllingsmassene.

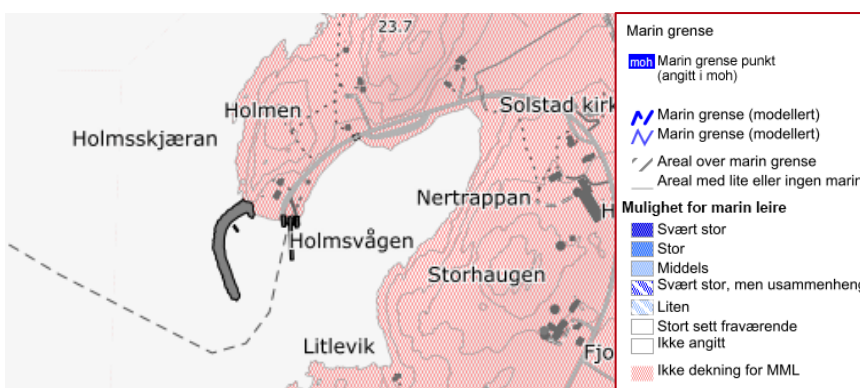


Figur 2: Løsmassekart fra NGU.no.

I sjøen består det øvre løsmasselaget av siltig leire etterfulgt av et lag med sand og grus over berg. Innenfor planlagt fyllingsområde er leiretykkelsen hovedsakelig 1-5 m, men med en lokalt forekommende leiretykkelse på opptil ca. 8 m ved profil 170-180 (ved kulverten) .

##### 3.1.1. KVIKKLEIRE

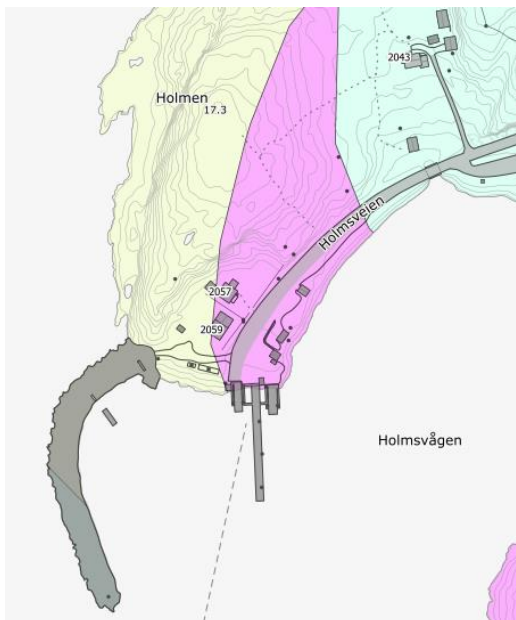
Området ligger på ca. kote +4 moh. og under marin grense som i området ligger på ca. kote +140 moh. NGUs kart viser ikke dekning for marin leire på land /4/. Det er heller ikke påvist noen forekomst av kvikkleire eller sprøbruddmateriale fra prøveseriene som ble uttatt ved geotekniske undersøkelser.



Figur 3: Marin grense og mulighet for marin leire /4/.

### 3.1.2. BERGGRUNN

NGUs 1:50 000 kartserie beskriver bergarten i området som glimmerskifer, turmalinførende granitt og kalksilikatskifer med innslag av marmor. Statens vegvesen har tidligere utført en detaljert beskrivelse av berggrunn og berggrunnens egenskaper i geologisk rapport /8/.



Figur 4: Berggrunnskart viser utbrenning bergarter i området. Glimmerskifer (gul), granitt (rosa), og kalksilikatskifer (turkis) /5/.

## 4. GEOTEKNISK VURDERING

### 4.1. GEOTEKNISK KATEGORI

I henhold til NS-EN 1997-1:2004+NA:2008 "Eurokode 7: Geoteknisk prosjektering, Del 1: Allmenne regler" og NS-EN 1997-2:2008 "Eurokode 7: Geoteknisk prosjektering, Del 2: Regler basert på grunnundersøkelser og laboratorieprøver" er konsekvens-/pålitelighetsklasse (CC/RC) satt til klass 2. Dette medfører at det skal benyttes kategori 2 som geoteknisk kategori for dette prosjektet. Kontrollklasse er satt til normal (N) kontroll.

### 4.2. GEOTEKNISKE EGENSKAPER OG MATERIALPARAMETERE

#### Fyllmasser

Det øverste løsmasselaget på land består av fyllmasser ned til ca. 1-3 m under terreng. Materialet anslås å ha en tyngdetetthet på ca. 19 kN/m<sup>3</sup> og friksjonsvinkel bedømmes å være ca. 40°.

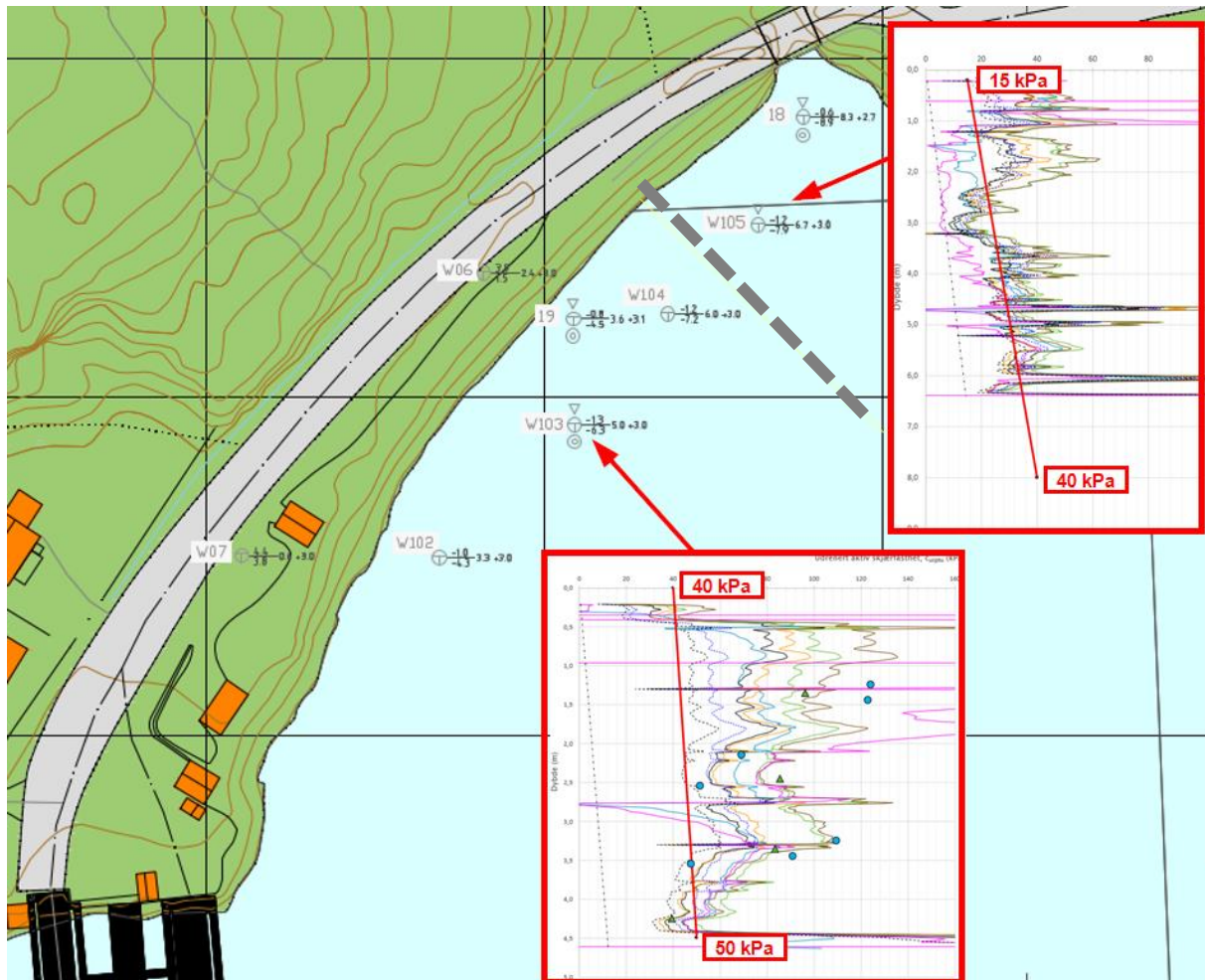
#### Siltig leire

I sjøen samt deler av landområdet (under fyllmassene) finnes et lag med siltig leire.

Laboratorieresultater viser innslag av grus og stein. Leirlagets mektighet varierer mellom ca. 1-8 m. Tyngdetettheten er ca. 20 kN/m<sup>3</sup>, og det naturlige vanninnholdet varierer mellom ca. 20-25 %.

Leirens udrenerte aktive skjærfasthet er i hoveddelen av området vurdert til ca. 40 kPa med en økning mot dypet på ca. 2 kPa/m (jf. Figur 5).

I område rundt kulverten, der den største leirmektigheten er påtruffet, er styrken lokalt noe lavere. Den udrenerte aktive skjærfastheten er der vurdert til 15 kPa med en økning mot dypet på ca. 3 kPa/m.



Figur 5: Udrenerert aktiv skjærfasthet i tiltaksområdet.

#### Friksjonsjord (sand og grus)

Under leiren finnes det i deler av området et lag av friksjonsjord over berg. Materialet anslås å ha en tyngdetetthet på ca. 19 kN/m<sup>3</sup> og friksjonsvinkel bedømmes å være ca. 36°.

Tabell 1 sammenstiller materialparametere for løsmassene i området. Verdiene er basert på utførte undersøkelser samt erfaring/empirisk vurdering /9/. Det er gjort konservative antagelser av friksjonsvinkel og attraksjon for den siltige leiren, siden undersøkelser av leirens drenerende egenskaper har vært begrenset.

Tabell 1 Sammenstilling av løsmassenes materialegenskaper.

Løsmassetype*	Materialegenskaper	Karakteristiske verdier
Fyllmasse/Sprengstein (Fy)	Tyngdetetthet Effektiv tyngdetetthet under GV Friksjonsvinkel	19 kN/m <sup>3</sup> 11 kN/m <sup>3</sup> 42°
Siltig leire (siLe)	Tyngdetetthet Effektiv tyngdetetthet under GV Vanninnhold, $w_N$ Udrenert aktiv skjærfasthet, $S_{uA}$ Friksjonsvinkel, $j'$ Attraksjon, a	20 kN/m <sup>3</sup> 10 kN/m <sup>3</sup> 25 % $40+2\cdot d / 15+3\cdot d$ kPa** 26° 5 kPa
Friksjonsjord (Sa/Gr)	Tyngdetetthet Effektiv tyngdetetthet under GV Friksjonsvinkel	19 kN/m <sup>3</sup> 20 kN/m <sup>3</sup> 36°

\* Forkortelsene i parentes er de som brukes for å beskrive løsmassene i beregningssnittene i Vedlegg A.

\*\* det er dypet under leirlagets overflate.

## 4.3. STABILITETSVURDERINGER

### 4.3.1. SIKKERHETSKRAV FOR STABILITETSVURDERINGER

Iht. Eurokode 7 (og håndbok N200 «Geoteknikk i vegbygging») er sikkerhetsfaktor (partialfaktor,  $\gamma_M$ ) ut fra geoteknisk kategori samt en vurdering av konsekvensklasse (CC2 alvorlig) og bruddmekanisme (nøytralt), satt til  $\gamma_M \geq 1,3$  for effektivspenningsanalyse og  $\gamma_M \geq 1,4$  for totalspenningsanalyse.

### 4.3.2. BEREGNINGSVERKTØY

Stabilitetsanalysene er utført i beregningsverktøyet Slope/W versjon 9.1.2.17441 (Geostudio 2018 R2). De utførte analysene er utført som drenert analyse (effektivspenningsanalyse) og udrenert (totalspenningsanalyse). Rapporterte sikkerhetsfaktorer refererer til Morgenstern-Price metoden for sirkelsylindriske glideplan.

### 4.3.3. GRUNNLAG FOR STABILITETSVURDERINGER

Grunnvannstanden er antatt å ligge ca. 0-4 meter under terregnoverflaten.

Stabilitetsberegningene er utført med en ytre vannstand på kote -1,68. Dette tilsvarer laveste astronomiske tidevann (LAT) (jf. havniva.no).

Karakteristisk verdi for trafikklast på oppstillingsområdet/hovdevei/GS-vei er satt til 13 kPa iht. Statens vegvesens håndbok N200 /11/.

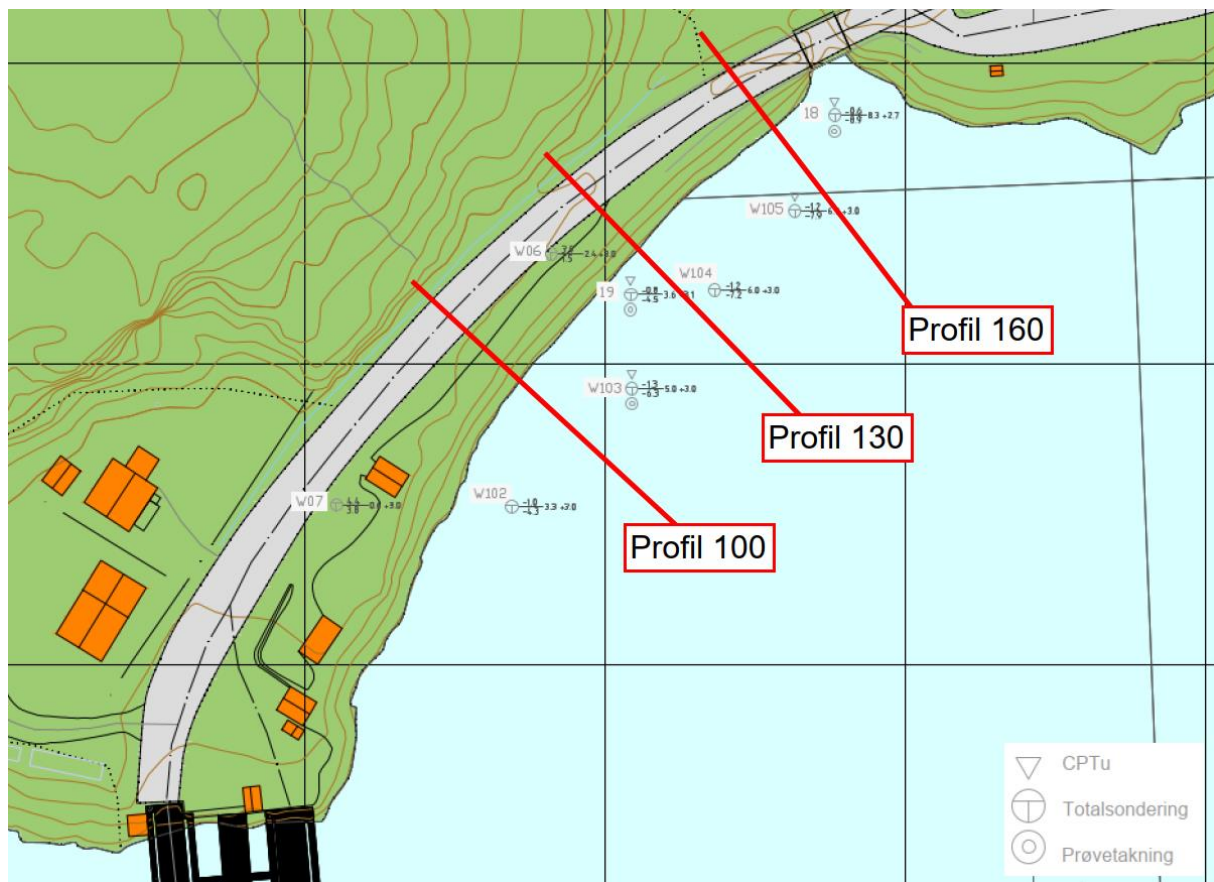
Valg av anisotropifaktorer (ADP) er gjort iht. rapport nr. 14/2014 «Naturfareprosjektet Dp. 6 Kvikkleire. En omforent anbefaling for bruk av anisotropifaktorer i prosjektering i norske leirer» og er for dette prosjekt:

	Anisotropifaktor (ADP)
$C_{uD}/C_{uC}$	0,63
$C_{uE}/C_{uC}$	0,35

#### 4.3.4. LOKALSTABILITET

##### 4.3.4.1. Utfylling i sjø/strandsone

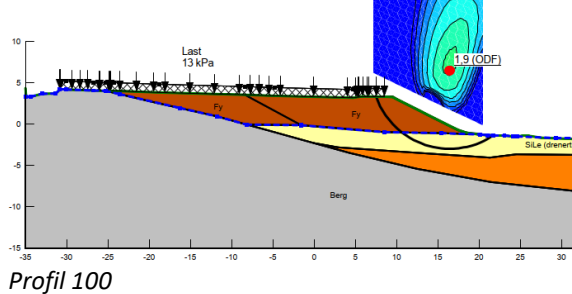
For kontroll av lokalstabiliteten er det utført stabilitetsberegninger i tre representative beregningsprofiler for det nye ferjeleiet (jf. profil 100, 130 og 160 i Figur 6). Alle stabilitetsberegningene er vist i sin helhet i vedlegg A.



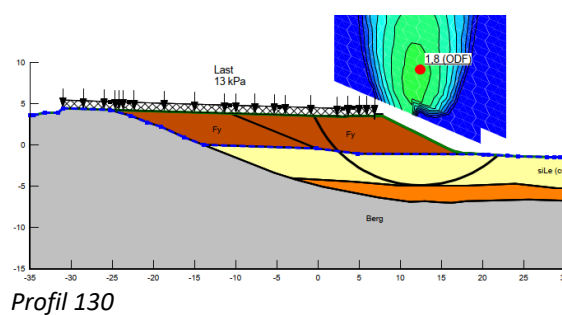
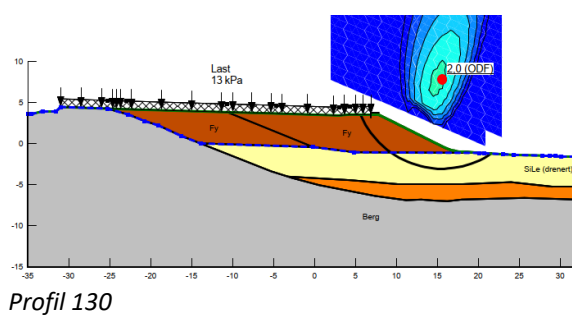
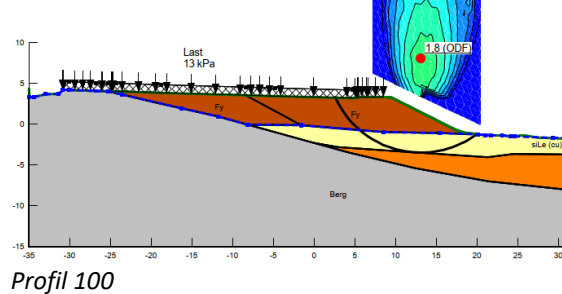
Figur 6 Plassering av beregningsprofiler 100, 130 og 160.

Resultater fra stabilitetsberegningene er vist i Figur 7 og Tabell 2. Generelt viser beregningene at stabiliteten for en stor del av strekningen med utfyllingen i sjø (fram til ca. profil 140) er akseptabel. Beregnet partial-/sikkerhetsfaktor ved en uforsterket utfylling er ca.  $\gamma_M=2,0$  mot drenert brudd iht. effektivspenningsanalyse (aj) og  $\gamma_M=1,8$  for udrenert brudd iht. totalspenningsanalyse (ADP) (jf. Figur 7).

### Effektivspenningsanalyse (aj)



### Totalspenningsanalyse (ADP)

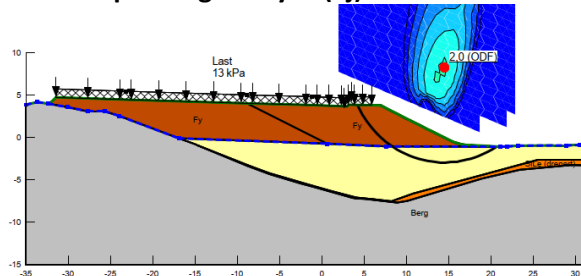


Figur 7 Stabilitetsberegninger for profil 100 og 130 (jf. vedlegg A).

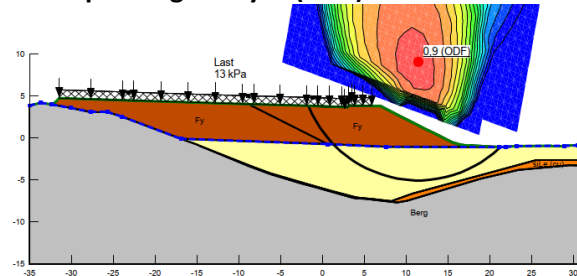
Utførte sonderinger viser en viss usikkerhet/vanskelig tolkelig overgang mellom leirelaget og underliggende friksjonsjord. Det er derfor utført sensitivitetsanalyser mtp. leirlagets dybde/tykkelse. Modellering av kun leirlag til berg viser svært liten innvirkning på den laveste partial-/sikkerhetsfaktor hvilke da er ca.  $\gamma_M=1,7$ .

I område rundt kulverten, på strekning ca. 140 til 180, er stabiliteten ikke tilstrekkelig for en utfylling i sjø/strandsone uten stabiliserende tiltak. Laveste beregnet partial-/sikkerhetsfaktor i profil 160 er ca.  $\gamma_M=2,1$  (effektivspenningsanalyse) samt ca.  $\gamma_M=0,9-1,0$  (totalspenningsanalyse) og oppfyller dermed ikke gjeldende krav. For å oppnå tilstrekkelig sikkerhet i dette området må det gjøres stabiliserende tiltak.

### Effektivspenningsanalyse (aj)



### Totalspenningsanalyse (ADP)

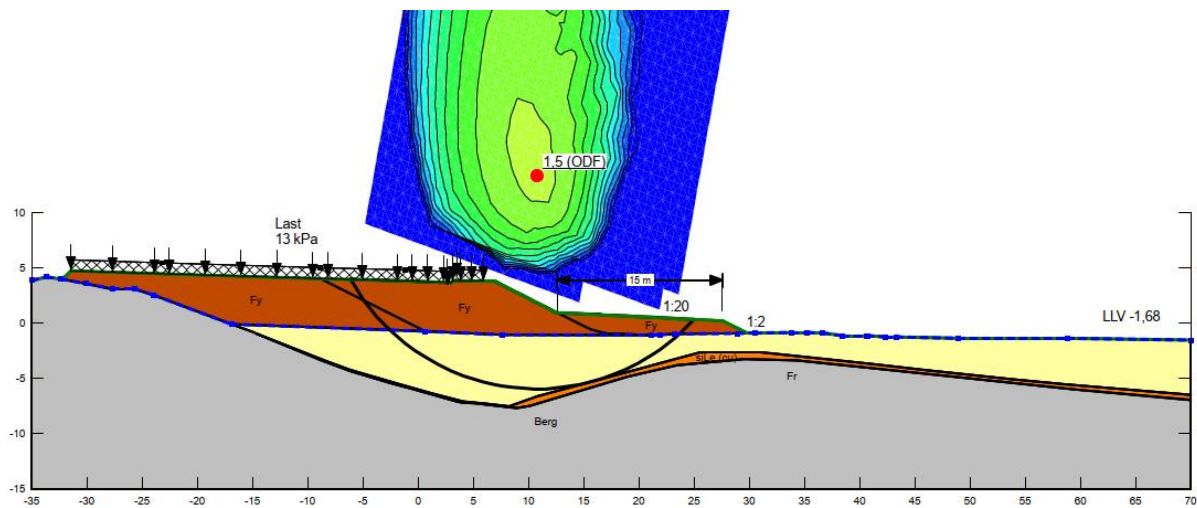


Figur 8 Stabilitetsberegninger for profil 160 (jf. vedlegg A).

#### 4.3.4.2. Stabiliserende tiltak

Stabiliteten er generelt god for planlagt utbygging av ferjeleiet, men det kreves stabilitetsforbedrende tiltak for å sikre stabiliteten for utfyllingen i området ved kulverten. Dette skyldes at leiremektigheten er større og leirens udrenerte skjærfasthet er vesentlig lavere i dette området.

Stabiliteten kan eksempelvis forbedres med støttefylling/motfylling langs ferjeleieutfyllingen. For å oppnå tilstrekkelig stabilitet for utfyllingen vurderes en ca. 15 m støttefylling av sprengstein opp til ca. kote +1. Støttefyllingens overflate skal ha en helning på ca. 1:20 med en avsluttende helning på 1:2 (Figur 9).



Figur 9 Stabiliserende tiltak for profil 160 (jf. vedlegg A).

#### 4.3.4.3. Støttefylling/motfylling

Støttefyllingen plaseres på en fiberduk/jordarmering og bygges opp med sprengstein med en steinstørrelse 200-800 mm (midlere steindiameter,  $D_{50}$ , anbefalles att være 600 mm). Sprengstein skal være vasket og fri for forurensede stoffer fra sprenging før utlegging. Støttefyllingen legges ut i 1–2 m tykke lag. Fylling og støttefyllingen legges ut samtidig, og støttefyllingen må være lagt ut i full høyde før fyllingen bygges videre over topp støttefylling.

Nødvendig total mengde/volum støttefylling av sprengstein for å oppnå tilstrekkelig sikkerhet for ferjeleiets utfylling er ca.  $1350 \text{ m}^3$  ( $15 \times 2 \times 45 \text{ m}$ ).

#### 4.3.4.4. Sammenstilling av utførte stabilitetsanalyser

Tabell 2 viser resultatene av utførte stabilitetsberegringer i tre representative profiler.

Tabell 2: Resultatene av stabilitetsberegringene.

Profil	Utfylling uten tiltak		Stabiliserende tiltak	
	Effektivspenningsanalyse (aj)	Totalspenningsanalyse (ADP)	Effektivspenningsanalyse (aj)	Totalspenningsanalyse (ADP)
100	$\gamma_M = 1,9$	$\gamma_M = 1,7-1,8$	–	–
130	$\gamma_M = 2,1$	$\gamma_M = 1,7-1,8$	–	–
160	$\gamma_M = 2,1$	$\gamma_M = 0,9$	$\gamma_M = 2,5$	$\gamma_M = 1,5$

## 4.4. SETNINGSVURDERINGER

### 4.4.1. LEIRENS SETNINGSEGENSESKAPER

For å bestemme leirens kompresjonsegenskaper ved belastning ble det utført CRS-forsøk (ødometerforsøk) i laboratorium på fem cylinderprøver. Siden leiren inneholder et stort innslag av stein har CRS-forsøk vært vanskelig å tolke ettersom det ikke ble påvist noe tydelig brudd. Sammen med vurderte CPTU-undersøkelser utført i området har CRS-forsøkene likevel gitt et godt grunnlag for vurdering av leirens kompresjonsegenskaper.

Basert på vurdering av CPTU-undersøkelser (iht. norsk samt svensk praksis, med Excel-ark samt dataprogrammet Conrad) sammen med CRS-forsøk og empirisk har leiren blitt tolket som overkonsolidert med ca. 80-100 kPa. Dette innebærer at leiren kan belastes med spenninger opp til dette nivået uten at vesentlige setninger oppstår.

Basert på CPT- og CRS-forsøk er leirens modull og modultall vurdert. I tabellen nedenfor vises leirens vurderte/tolkede kompresjonssegenskaper.

Tabell 3 Sammenstilling av løsmassenes materialegenskaper.

Løsmassetype*	Materialegenskaper	Karakteristiske verdier
Siltig leire (siLe)	Forkonsolideringstrykk, $p'_0$ Deformasjonsmodul, $M_0$ Modultall, $m$ Konsolideringskoeffisient, $c_v$	$p'_0+80$ kPa 3000 kPa*** 20 $15 \text{ m}^2/\text{år}$

\* Forkortelsene i parentes er de som brukes for å beskrive løsmassene i beregningssnittene i Vedlegg B.

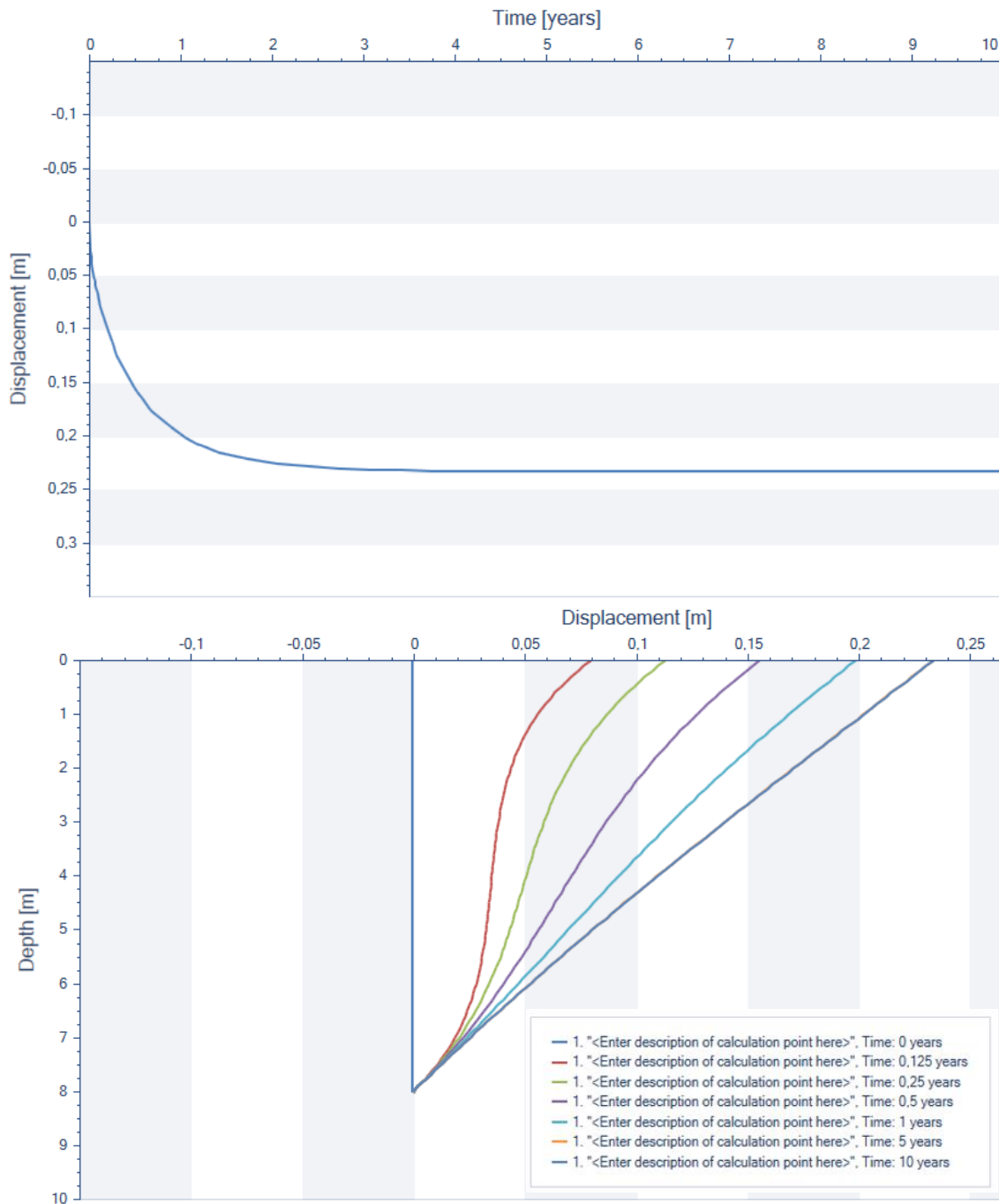
\*\*\* ca.  $150 * S_{uA}$

### 4.4.2. SETNINGSBEREGNINGER OG VURDERING

Setningsberegninger på utfyllingen er utført i programmet Geosuite Settlement. Det er utført beregninger i et dimensjonerende snitt der oppfyllingen er størst (ca. 5 m) og samtidig leiremektheten er størst (ca. 8 m i profil 170, dvs. ved kulerten). Denne beregningen anses å være «worst case» mtp. setninger.

Utførte setningsanalyser viser en forventet setning på maksimalt ca. 20-25 cm hos utfyllingen.

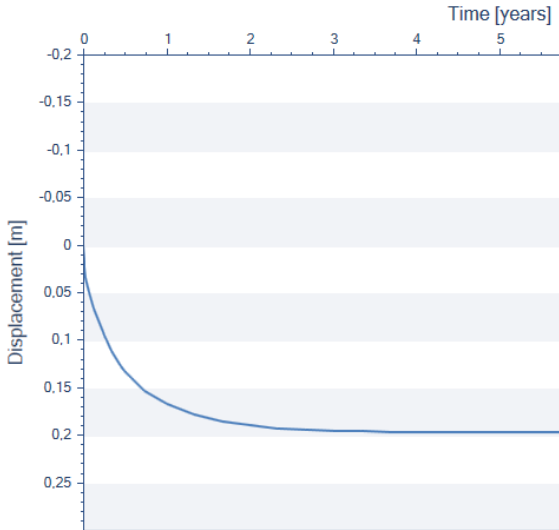
I hensyn till den relativt begrensede lermektheten og kort dreneringsvei i leirlaget forventes tidsforløpet for settningen skje relativt raskt. Inom løpet av de første 12 månederne forventes ca. 90% av setningerne ha skjedd. I Figur 10 presenteras beregnet forventet setning og dess tidsforløpet för en 5 m utfylling.



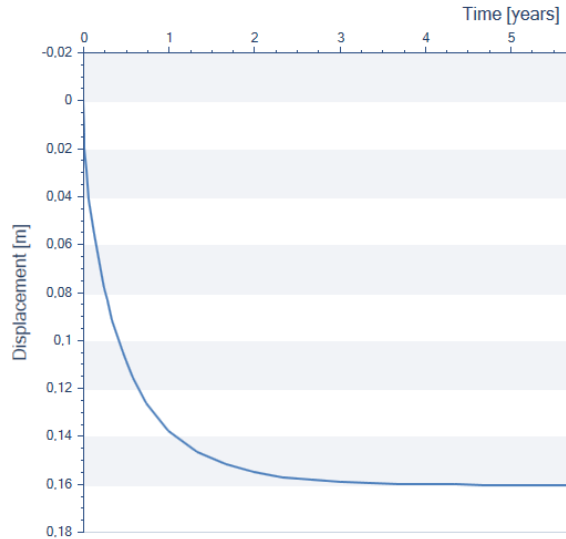
Figur 10 Tidsforløp av forventet totalsetning 5 m utfylling samt setningsbild mot dybde i leirlaget.

Setningsberegninger har også utførts for en utfylling delvis oppbygd med lette masser for å redusere fyllingens belastning på undergrunnen. Oppbygging med 1 og 2 m lettaklinker har blitt analysert. Effekten av dette er imidlertid svært liten. Den totale settningen minsker bare noen få centimeter, til ca. 18 cm samt 16 cm enligt

### 1 m lettklinker:



### 2 m lettklinker:



Figur 11 Setningsberegninger for 5 m utfylling med 1 og 2 m lett klinker..

I hensyn til det forventede raske tidsforloppet for settningen hos utfyllingen anses settningernes størrelse vara akseptabel og håndterbar i byggefase. Detta da justeringar av koten på overtan kan ske inom byggetiden för ferjeleiet. Det anses dermed ikke nödvändig till utförelse av noen setningsreduserende tiltak.

## 5. SIKRING MOT BØLGEEROSJON

Beregninger av sikring mot bølgeerosjon er utført iht. Håndbok V221 /10/.

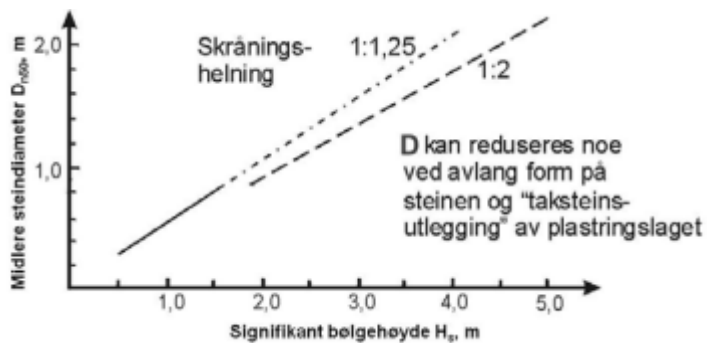
Effektiv strøklength F er et beregnet vindfang for en bestemt vindretning, i dette tilfellet er det beregnet fra vest. På begge sider av denne settes det opp sekundære strøklinjer med innbyrdes vinkelavstand  $\alpha = 6^\circ$  ut til en maksimal vinkel på  $42^\circ$ . Ved å måle alle strøklengthene  $X_i$  og anvende formel i /10/, kan effektiv strøklength F beregnes. Med antatt vind fra vest er nesten alle  $X_i$ satt til null da bølgesikringen er planlagt innenskjærs og innenfor en molo.

Tabell 4: Beregning av effektiv strøklength og signifikant bølgehøyde.

$\alpha$ ( $^\circ$ )	$X_i$ [km]	$X_i * \cos \alpha$ (km)	Effektiv strøklength F <sub>eff</sub>
42	0	0	$F_{eff} = \sum X_i * \frac{\cos \alpha}{\sum \cos \alpha} = \frac{8,02}{13,512} = 0,59 \text{ km}$
36	0	0	
30	0	0	
24	0	0	Dimensjonerer vindhastighet med 100 års
18	0	0	returperiode /12/: $v = 31,2 \text{ m/s}$
12	0	0	
6	0	0	
0	0	0	
6	0	0	
12	0	0	$H_s = (0,00031 * v^2 + 0,0016 * v) \sqrt{F_{eff}}$ $= (0,00031 * 973,44 + 0,016 * 31,2) * 0,77 \approx 0,65 \text{ m}$

18	0	0	Den maksimale bølgehøyden er vanligvis opptil 1,8-2 ganger signifikant bølgehøyde ( $H_s$ ) /10/. Maksimale bølgehøyden = <b>1300 mm</b>  <b>Midlere steindiameter: 600 mm</b> <b>Skråningshelning: 1:1,5 eller slakere.</b> <b>Tykkelse steinlag er <math>2 \cdot H_s = 1200 \text{ mm}</math></b> (jf. /10/.)
24	0	0	
30	0,3	0,26	
36	5,01	4,05	
42	5,00	3,715	
$\Sigma \cos \alpha = 13,512$		$\Sigma = 8,02$	

Midlere steindiameter ( $D_{50}$ ) for bølgeerosjonssikring skal være 600 mm. Tykkelse på dette steinlag er beregnet til 1200 mm. Skråningshelning er satt til samme som den på utfyllingen av veien (1:2). Underliggende filterlag som skal ligge mellom utfylling av veien og bølgeerosjonssikring må ha en midlere steindiameter ( $D_{50}$ ) på minst 130 mm i steindiameter for at ikke veifylling skal vaskes ut mellom bølgesikringen. Tykkelse på filterlaget er satt til 200 mm.



Figur 12: Steinstørrelse for sikring mot bølgeerosjon /10/.

For bølgeerosjonssikring og filterlag skal det brukes sprengt, sortert stein. Sprengstein skal være vasket og fri for forurensede stoffer fra sprenging før utlegging.

## 6. RYSTELSEKRAV

I forbindelse med sprengning og andre grunnarbeider skal det fastsettes grenseverdier (toppverdier) av vibrasjoner på byggverk iht. NS 8141:2001 «Vibrasjoner og støt – Måling av svingehastighet og beregninger av veiledende grenseverdier for å unngå skade på byggverk».

Beregninger i denne rapporten gjelder bygg som er bygd etter Statens vegvesens geologi rapport (06.2018). Byggene ligger nord for ferjekaien; en nettstasjon og en batteribank (se Figur 13). For å se rystelseskrav for øvrige bygg se Geologisk rapport til reguleringsplan /8/.



Figur 13: Bilder som viser plassering av nybyggene ca. 50 m øst om ferjekaien.

Tabell 5 viser beregnet grenseverdi fastsatt etter formelen  $V = Vo \times Fq \times Fb \times Fd \times Fk$ :

- Fg – Grunnforholds faktor som tar hensyn til grunnforholdene der byggverket står
  - Fb – Byggverks faktor som er avhengig av type og utforming av byggverk, konstruksjonsmateriale og fundamentertings måte
  - Fd – Avstandsfaktor som tar hensyn til avstanden mellom vibrasjonskilden og målepunktet
  - Fk – kildefaktor som tar hensyn til egenskaper ved vibrasjonskilden.

Tabell 5: Grenseverdi for rystelser.

<b>Ukorrigert toppverdi</b>	Vo			20,00
<b>Grunnforhold</b>	<b>Hovedgruppe</b>	<b>Grunnforhold</b>		
	Fg	Løsmasser	Fast lagret morene, fylling med komprimert spengstein	1,80
			<b>Type Byggverk</b>	
	Fb	kb_Type_byggverk	Industri- og kontorbygg	1,20
			<b>Fundamenteringsmåte</b>	
	Fb	Kf_Fundamenteringsfaktor	Plate	0,80
			<b>Hovedmateriale</b>	
	Fb	km_Hovedmaterialer	Uarmert belong, tegl, betonghullstein, murverk, lettstål, lekklinkerbetong og lignende	1,00
<b>Avstand</b>	<b>Vibrasjonskilde</b>	<b>Grunnforhold</b>		<b>Avstand (m)</b>
	Fd	Sprenging_og_pigging	Løsmasser	5-200 m
		<b>Vibrasjonskilde</b>		
<b>Kildefaktor</b>	Sprengning / Peling og spunting med fallodd / Riving / Anleggstrafikk			1
<b>Resultat</b>	Grenseverdi for vibrasjoner			<b>22 mm/s</b>

Grenseverdi for vibrasjoner på nettstasjonen og batteribanken i forbindelse med sprengningsarbeid er beregnet til **22 mm/s**. Rystelseskravene er foreløpige og er beregnet ut ifra antatt fundamentering, byggemateriale og at byggingene ikke er spesielt følsomme. Det må gjennomføres bygningsbesiktigelse for å sjekke byggemateriale, fundamenteringsforhold og skadeomfang på bygninger før sprengningsarbeid starter.

## 7. REFERANSER

- /1/ WSP Norge AS. Datarapport geoteknisk grunnundersøkelse - Fv17 Holm Ferjeleie. 25.05.2022
- /2/ Kartverket, 2022. Høydedata (<https://hoydedata.no/LaserInnsyn/>). Lastet ned: mars 2022
- /3/ Kartverket, 2022. NVE Atlas (<http://atlas.nve.no>). Lastet ned: mars 2022
- /4/ NGU, 2022. Løsmasser (<http://geo.ngu.no/kart/losmasse/>). Lastet ned: mars 2022
- /5/ NGU, 2022. Berggrunn (<http://geo.ngu.no/kart/berggrunn/>). Lastet ned: mars 2022
- /6/ NGU, 2022. Granada – Nasjonal grunnvannsdatabase ([http://geo.ngu.no/kart/granada\\_mobil/](http://geo.ngu.no/kart/granada_mobil/)). Lastet ned: mars 2022.
- /7/ Statens vegvesen. *Geoteknikk – Detaljregulering for fv.17 Holm ferjeleie*. 50932-GEOT-01. 13-06-2018.
- /8/ Statens vegvesen. *Geologi – Fv. 17 Holm ferjeleie, Geologisk rapport til reguleringsplan*. 50984-GEOL-01. 19-06-2018.
- /9/ Statens vegvesen. *Håndbok V220– Geoteknikk i vegbygging*, juni 2014.
- /10/Statens vegvesen. *Håndbok V221 – Grunnforsterkning, fyllinger og skråninger*, juni 2014.
- /11/Statens vegvesen 2018. Håndbok N200 – Vegbygging.
- /12/NS-EN 1991-1-4:2005+NA:2009. Eurokode 1: Laster på konstruksjoner. Del 1-4: Allmenne laster, Vindlaster.

2022-05-25

X *Ola Skjef*

Utarbeidet av

Signerat av: SEOS24718

X

Fagansvarlig Geoteknikk

X

Utarbeidet av

X

Fagansvarlig Geologi



## VEDLEGG A

Stabilitetsberegninger (profil 100, 130, 160)



GOLDER

OBJEKT

Fv17 Holm ferjeleie

FASE

Detaljprosjektering

SNITT

Sektion 0/100

ANALYSE

1. Drenert analyse

BESKRIVELSE

Stabilitet

OPPDRAG

Fv17 Holm ferjeleie-oppstillingsplass

OPPDRAGSNUMMER

10334661

OPPDRAGSGIVER

Nordland fylkeskommune

ANALYSEDATA

Analysesett type: Analysen med global sikkerhetsfaktor

Beregningsmetode: Morgenstern-Price (optimization: No)

GV &amp; poretrykk: Piezometric Line

Glideflaten: Grid and Radius, Left to Right

Sist lagret: 2022-05-24, 07:40:40

C:\corp\pbwain\inetSER\Projects\3343\10334661 - Fv17 Holm ferjeleie\_Berakninger\Geoteknik\Stabilitet\Seksnr\_0\_100.qgz

Color	Name	Model	Unit Weight (kN/m³)	Cohesion' (kPa)	Phi' (°)	Constant Unit Wt. Above Water Table (kN/m³)
Grey	Berg	Bedrock (Impenetrable)				
Orange	Fr	Mohr-Coulomb	20	0	36	19
Dark Orange	Fy	Mohr-Coulomb	21	1	42	19
Yellow	SiLe (drenert)	Mohr-Coulomb	20,5	5	26	19

VEDLEGG

MÅlestokk  
1:400

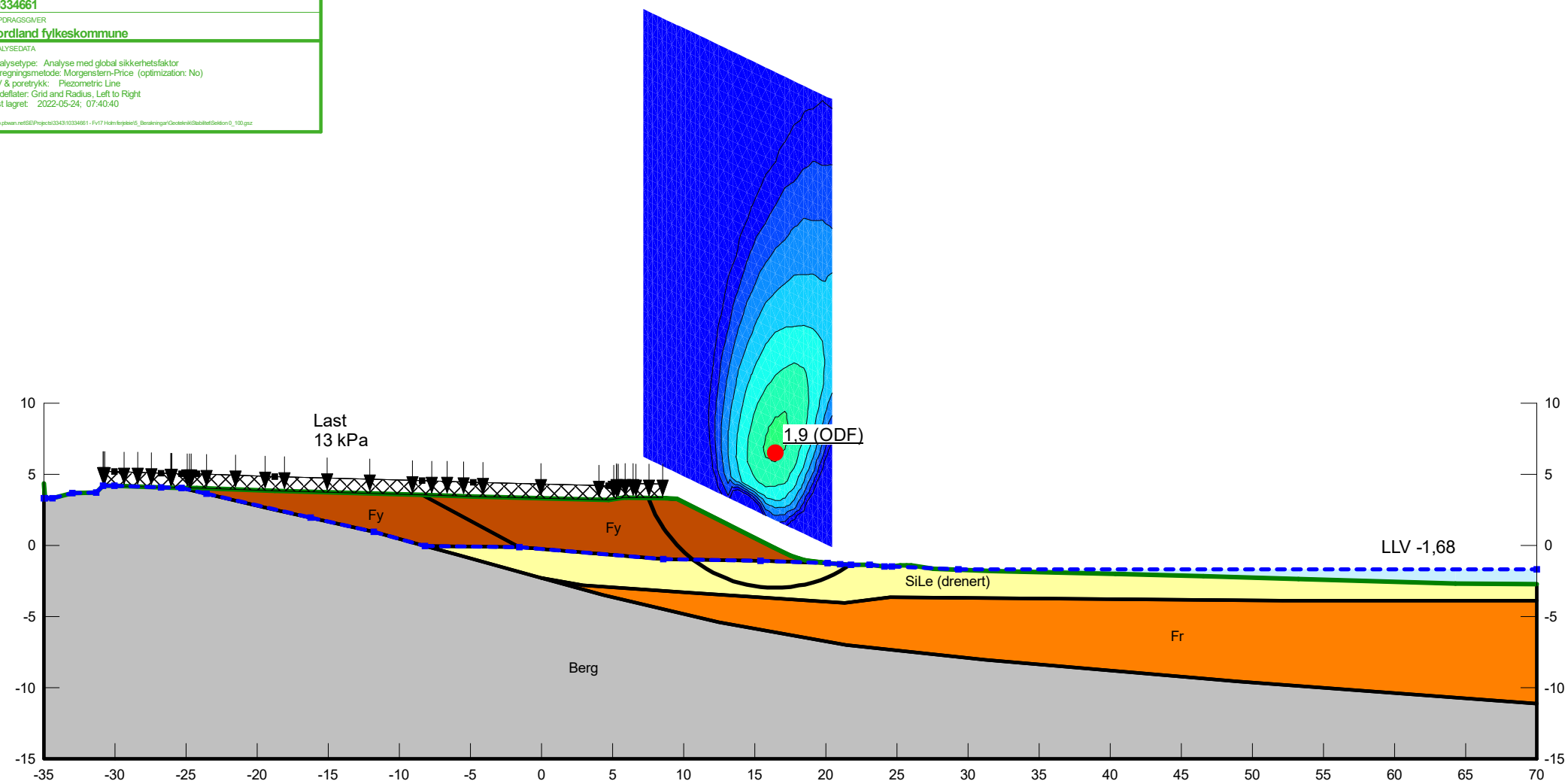
Analyse med global sikkerhetsfaktor

Påvirkning

Permanent: 1

Variabel: 1

Partialfaktorer for jordparametere

Frikjonsvinkel ( $\phi'$ ): 1Effektiv cohesjon ( $c'$ ): 1Udrenert skjærfasthet ( $c_u$ ): 1



GOLDER

OBJEKT

Fv17 Holm ferjeleie

FASE

Detaljprosjektering

SNITT

Sektion 0/100

ANALYSE

1. Udrernt analyse

BESKRIVELSE

Stabilitet

OPPDRAG

Fv17 Holm ferjeleie-oppstillingsplass

OPPDRAGSNUMMER

10334661

OPPDRAGSGIVER

Nordland fylkeskommune

ANALYSEDATA

Analysesett type: Analysen med global sikkerhetsfaktor  
Beregningsmetode: Morgenstern-Price (optimization: No)

GV &amp; poretrykk: Piezometric Line

Glideflater: Grid and Radius, Left to Right

Sist lagret: 2022-05-24, 07:40:40

1corp.pbwain.net\SE\Projects\3343\10334661-Fv17 Holm ferjeleie\_Berakninger\Goderen\Stabilitet\Sektion 0\_100.qgz

Color	Name	Model	Unit Weight (kN/m³)	C-Top of Layer (kPa)	C-Rate of Change ((kN/m³)/m)	C-Maximum (kPa)	Anisotropic Strength Fn	Cohesion' (kPa)	Phi' (°)	Constant Unit Wt. Above Water Table (kN/m³)
Grey	Berg	Bedrock (Impenetrable)								
Orange	Fr	Mohr-Coulomb	20				0	36	19	
Dark Orange	Fy	Mohr-Coulomb	21				1	42	19	
Yellow	siLe (cu)	S=f(depth)	20,5	40	2	0	ADP (Left to right)			

VEDLEGG

MÅlestokk  
1:400

Analyse med global sikkerhetsfaktor

Påvirkning

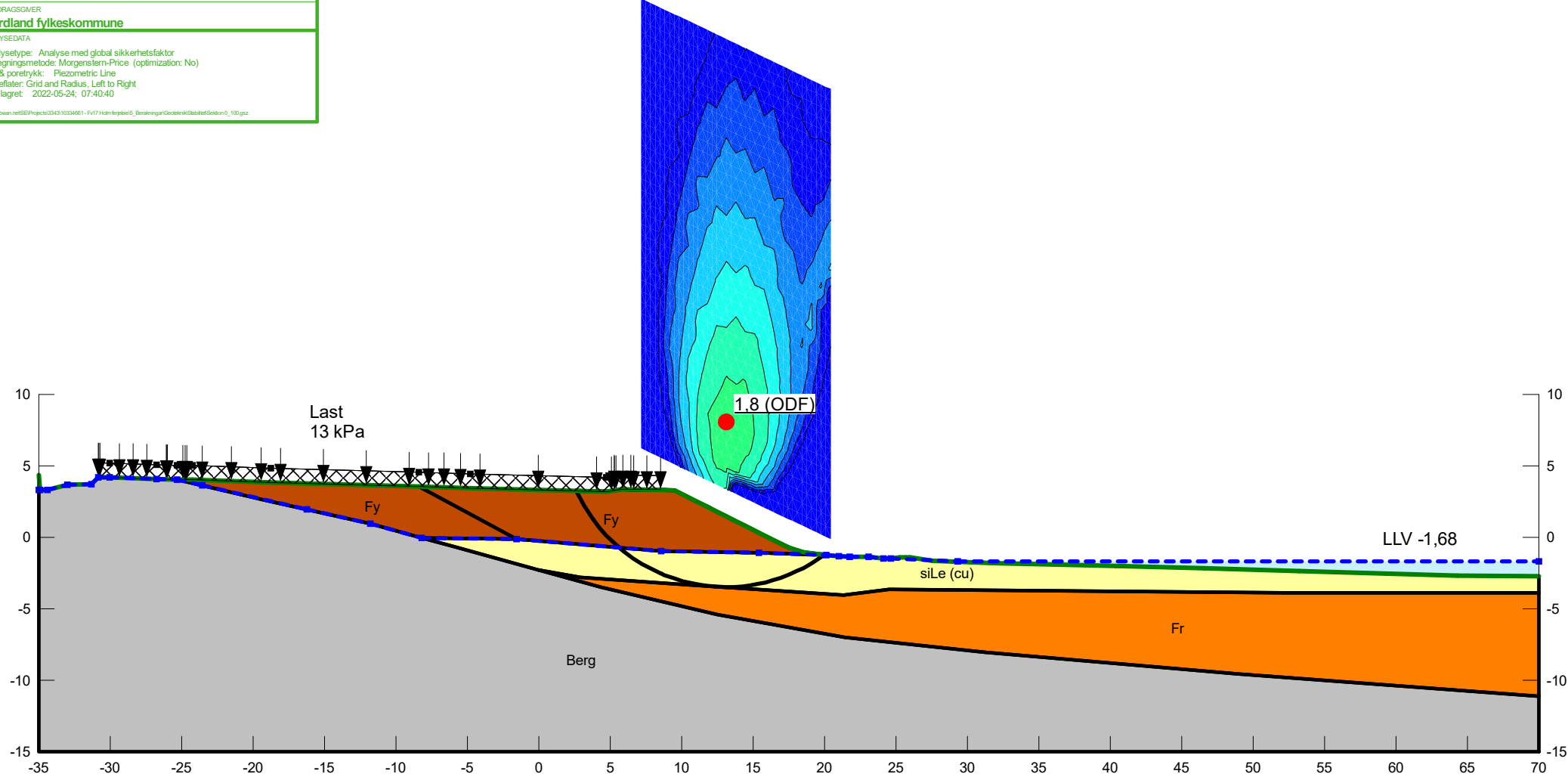
Permanent: 1

Variabel: 1

Partialfaktorer for jordparametere

Frikjonsvinkel ( $\phi'$ ): 1Effektiv cohesjon ( $c'$ ): 1

Udrernt skjærfasthet (cu): 1





GOLDER

OBJEKT

## Fv17 Holm ferjeleie

FASE  
DetaljprosjekteringSNITT  
Sektion 0/100ANALYSE  
2. Drenert analyseBESKRIVELSE  
StabilitetOPPDRAG  
Fv17 Holm ferjeleie-oppstillingsplassOPPDRAGSNUMMER  
10334661OPPDRAGSGIVER  
Nordland fylkeskommune

ANALYSEDATA

Analysesett type: Analysen med global sikkerhetsfaktor  
 Beregningsmetode: Morgenstern-Price (optimization: No)  
 GV & poretrykk: Piezometric Line  
 Glidelflater: Grid and Radius, Left to Right  
 Sist lagret: 2022-05-24, 07:40:40

!corp.pbwain.net\SE\Projects\3343\10334661 - Fv17 Holm ferjeleie\_0\_Beregninger\Geoteknik\Stabilitet\Seksnitt\_0\_100.qgz

VEDLEGG

MÅlestokk  
1:400

## Analyse med global sikkerhetsfaktor

## Påvirkning

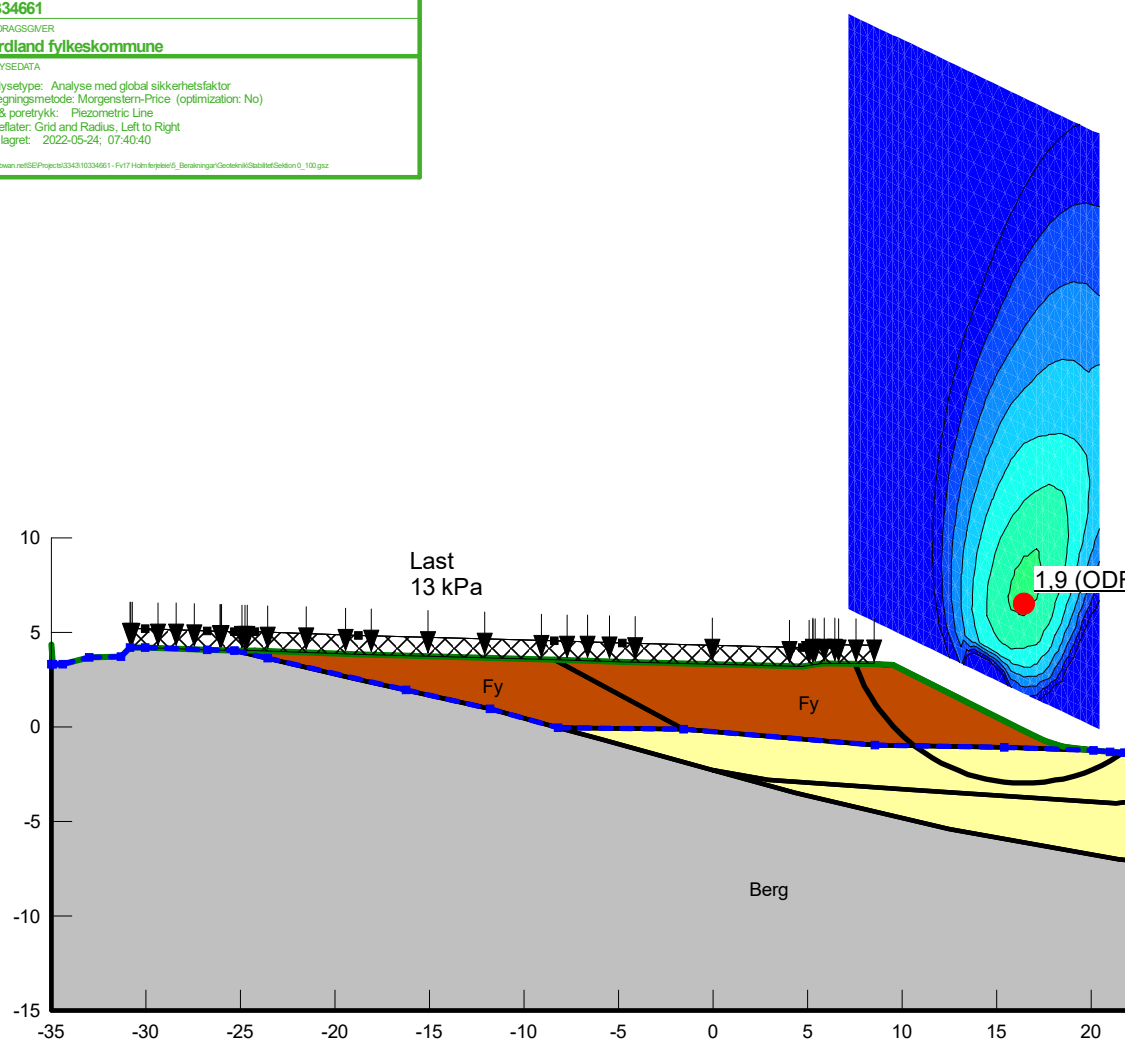
Permanent: 1

Variabel: 1

## Partialfaktorer for jordparametere

Frikjonsvinkel ( $\phi'$ ): 1Effektiv cohesjon ( $c'$ ): 1Udrenert skjærfasthet ( $c_u$ ): 1

Color	Name	Model	Unit Weight (kN/m³)	Cohesion' (kPa)	$\Phi'$ (°)	Constant Unit Wt. Above Water Table (kN/m³)
Grey	Berg	Bedrock (Impenetrable)				
Orange	Fy	Mohr-Coulomb	21	1	42	19
Yellow	SiLe (drenert)	Mohr-Coulomb	20,5	5	26	19





GOLDER

OBJEKT

## Fv17 Holm ferjeleie

FASE  
DetaljprosjekteringSNITT  
Sektion 0/100ANALYSE  
2. Udrernt analyseBESKRIVELSE  
StabilitetOPPDRAG  
Fv17 Holm ferjeleie-oppstillingsplassOPPDRAGSNUMMER  
10334661OPPDRAGSGIVER  
Nordland fylkeskommune

## ANALYSEDATA

Analyses type: Analyse med global sikkerhetsfaktor  
 Beregningsmetode: Morgenstern-Price (optimization: No)  
 GV & poretrykk: Piezometric Line  
 Glidelater: Grid and Radius, Left to Right  
 Sist lagret: 2022-05-24, 07:40:40

!corp.pbwain.netSEProjects\3343\10334661 - Fv17 Holm ferjeleie\_Beregninger\Goderen\Stabilitet\Seksn 0\_100.qgz

VEDLEGG

MÅlestokk  
1:400

Analyse med global sikkerhetsfaktor

Påvirkning

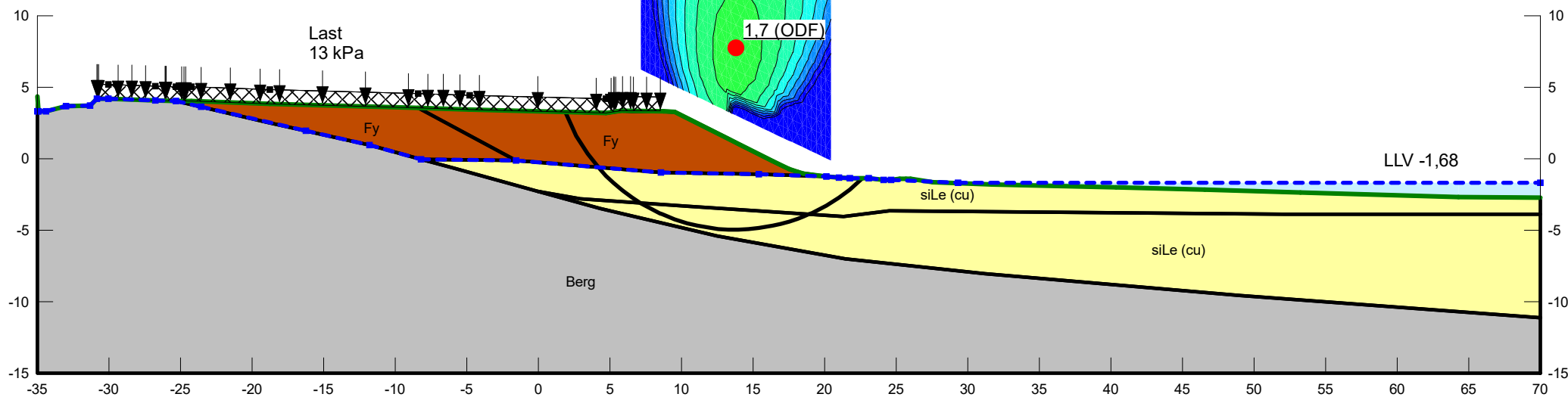
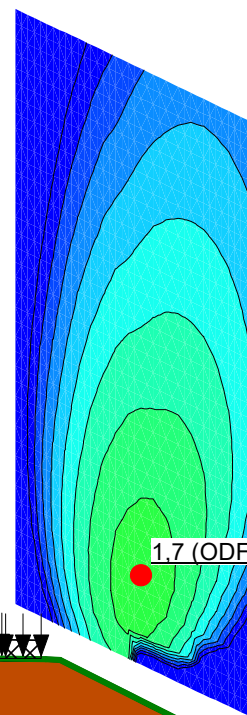
Permanent: 1

Variabel: 1

Partialfaktorer for jordparametere

Frikjonsvinkel ( $\phi'$ ): 1Effektiv cohension ( $c'$ ): 1Udrernt skjærfasthet ( $c_u$ ): 1

Color	Name	Model	Unit Weight (kN/m³)	C-Top of Layer (kPa)	C-Rate of Change ((kN/m²)/m)	C-Maximum (kPa)	Anisotropic Strength Fn	Cohesion' (kPa)	Phi' (°)	Constant Unit Wt. Above Water Table (kN/m³)
Grey	Berg	Bedrock (Impenetrable)								
Orange	Fy	Mohr-Coulomb	21					1	42	19
Yellow	siLe (cu)	S=f(depth)	20,5	40	2	0	ADP (Left to right)			





GOLDER

OBJEKT

Fv17 Holm ferjeleie

FASE

Detaljprosjektering

SNITT

Sektion 0/130

ANALYSE

1. Drenert analyse

BESKRIVELSE

Stabilitet

OPPDRAG

Fv17 Holm ferjeleie-oppstillingsplass

OPPDRAGSNUMMER

10334661

OPPDRAGSGIVER

Nordland fylkeskommune

ANALYSEDATA

Analysesett type: Analyse med global sikkerhetsfaktor  
Beregningsmetode: Morgenstern-Price (optimization: No)

GV &amp; poretrykk: Piezometric Line

Glideflater: Grid and Radius, Left to Right

Sist lagret: 2022-05-24, 07:43:55

C:\corp\pbw\en\NetSE\Projects\3343\10334661 - Fv17 Holm ferjeleie\Berakninger\Geoteknik\Stabilitet\Sektor0\_130.qgz

VEDLEGG

MÅlestokk  
1:400

Analyse med global sikkerhetsfaktor

Påvirkning

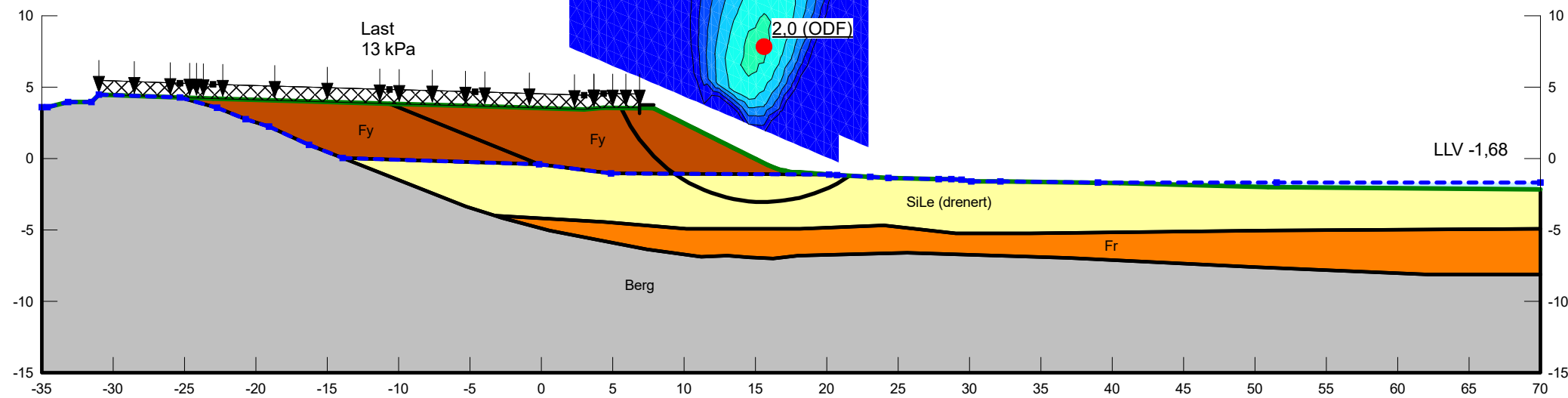
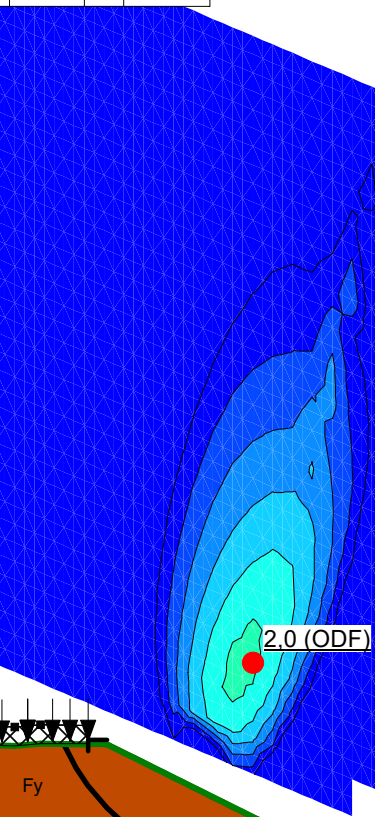
Permanent: 1

Variabel: 1

Partialfaktorer for jordparametere

Frikjonsvinkel ( $\phi'$ ): 1Effektiv cohesjon ( $c'$ ): 1Udrenert skjærfasthet ( $c_u$ ): 1

Color	Name	Model	Unit Weight (kN/m³)	Cohesion' (kPa)	Phi' (°)	Constant Unit Wt. Above Water Table (kN/m³)
Grey	Berg	Bedrock (Impenetrable)				
Orange	Fr	Mohr-Coulomb	20	0	36	19
Red	Fy	Mohr-Coulomb	21	1	42	19
Yellow	SiLe (drenert)	Mohr-Coulomb	20,5	5	26	19





GOLDER

OBJEKT

Fv17 Holm ferjeleie

FASE

Detaljprosjektering

SNITT

Sektion 0/130

ANALYSE

1. Udrernt analyse

BESKRIVELSE

Stabilitet

OPPDRAG

Fv17 Holm ferjeleie-oppstillingsplass

OPPDRAGSNUMMER

10334661

OPPDRAGSGIVER

Nordland fylkeskommune

ANALYSEDATA

Analysesett type: Analyse med global sikkerhetsfaktor  
Beregningsmetode: Morgenstern-Price (optimization: No)

GV &amp; poretrykk: Piezometric Line

Glideflater: Grid and Radius, Left to Right

Sist lagret: 2022-05-24, 07:43:55

1corp.pbwain.net\SE\Projects\3343\10334661 - Fv17 Holm ferjeleie\_Berekingar\Geotab\Stabilitet\Seksn 0\_130.qgz

Color	Name	Model	Unit Weight (kN/m³)	C-Top of Layer (kPa)	C-Rate of Change ((kN/m³)/m)	C-Maximum (kPa)	Anisotropic Strength Fn	Cohesion' (kPa)	Phi' (°)	Constant Unit Wt. Above Water Table (kN/m³)
Grey	Berg	Bedrock (Impenetrable)								
Orange	Fr	Mohr-Coulomb	20				0	36	19	
Dark Orange	Fy	Mohr-Coulomb	21				1	42	19	
Yellow	siLe (cu)	S=f(depth)	20,5	40	2	0	ADP (Left to right)			

VEDLEGG

MÅlestokk

1:400

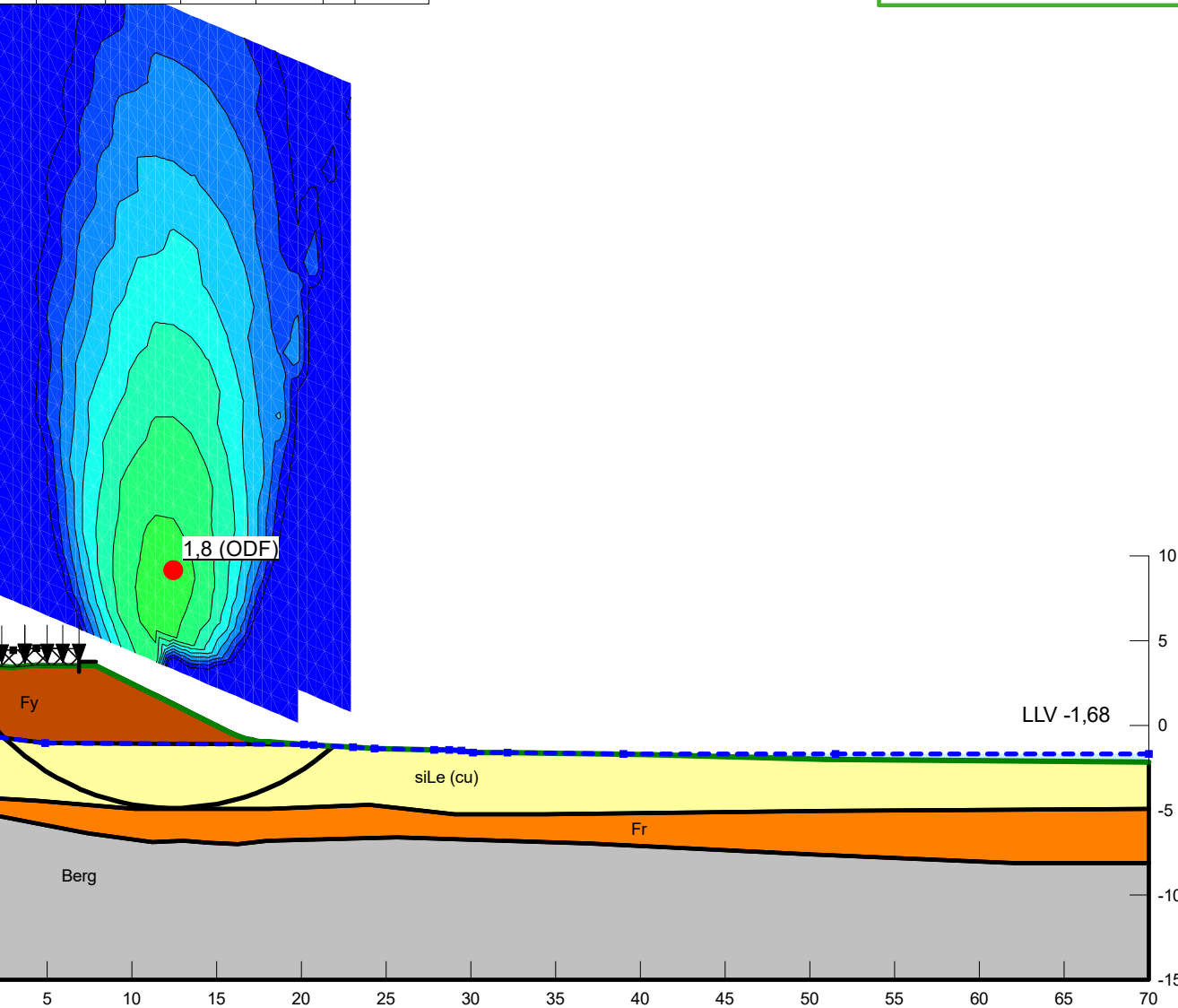
Analyse med global sikkerhetsfaktor

Påvirkning

Permanent: 1

Variabel: 1

Partialfaktorer for jordparametere

Frikjonsvinkel ( $\phi'$ ): 1Effektiv cohesjon ( $c'$ ): 1Udrernt skjærfasthet ( $c_u$ ): 1



GOLDER

OBJEKT

## Fv17 Holm ferjeleie

FASE  
DetaljprosjekteringSNITT  
Sektion 0/130ANALYSE  
2. Drenert analyseBESKRIVELSE  
StabilitetOPPDRAG  
Fv17 Holm ferjeleie-oppstillingsplassOPPDRAGSNUMMER  
10334661OPPDRAGSGIVER  
Nordland fylkeskommune

ANALYSEDATA

Analysesett type: Analysen med global sikkerhetsfaktor  
Beregningsmetode: Morgenstern-Price (optimization: No)

GV &amp; poretrykk: Piezometric Line

Glideflater: Grid and Radius, Left to Right

Sist lagret: 2022-05-24, 07:43:55

C:\corp\pbwain\neit\SE\Projects\3343\10334661 - Fv17 Holm ferjeleie\Berakninger\Geoteknik\Stabilitet\Sektor0\_130.qgz

VEDLEGG

MÅlestokk  
1:400

Analyse med global sikkerhetsfaktor

Påvirkning

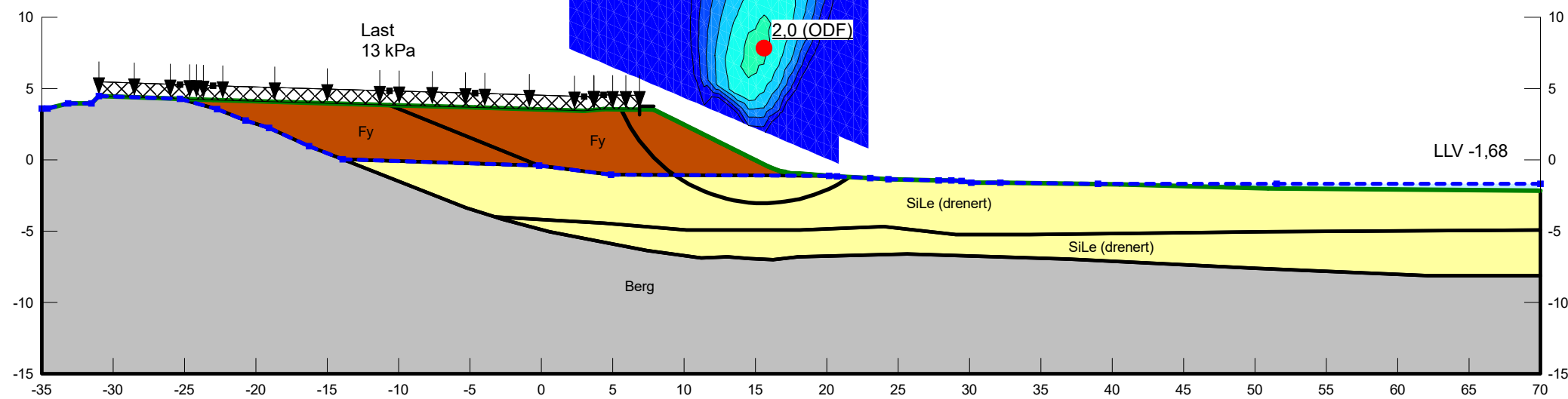
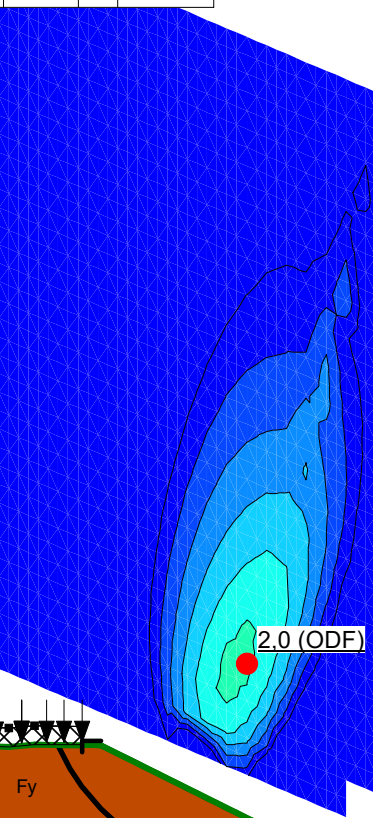
Permanent: 1

Variabel: 1

Partialfaktorer for jordparametere

Frikjonsvinkel ( $\phi'$ ): 1Effektiv cohesjon ( $c'$ ): 1Udrenert skjærfasthet ( $c_u$ ): 1

Color	Name	Model	Unit Weight (kN/m³)	Cohesion' (kPa)	$\Phi'$ (°)	Constant Unit Wt. Above Water Table (kN/m³)
Grey	Berg	Bedrock (Impenetrable)				
Orange	Fy	Mohr-Coulomb	21	1	42	19
Yellow	SiLe (drenert)	Mohr-Coulomb	20,5	5	26	19





GOLDER

OBJEKT

## Fv17 Holm ferjeleie

FASE  
DetaljprosjekteringSNITT  
Sektion 0/130ANALYSE  
2. Udrernt analyseBESKRIVELSE  
StabilitetOPPDRAG  
Fv17 Holm ferjeleie-oppstillingsplassOPPDRAGSNUMMER  
10334661OPPDRAGSGIVER  
Nordland fylkeskommune

ANALYSEDATA

Analysetype: Analyse med global sikkerhetsfaktor  
 Beregningsmetode: Morgenstern-Price (optimization: No)  
 GV & poretrykk: Piezometric Line  
 Glidelinjer: Grid and Radius, Left to Right  
 Sist lagret: 2022-05-24, 07:43:55

!corp.pbwain.netSEProjects\3343\10334661-Fv17 Holm ferjeleie\_Beregninger\Geotab\Stabilitet\Sektor0\_130.qgz

VEDLEGG

MÅlestokk  
1:400

Analyse med global sikkerhetsfaktor

Påvirkning

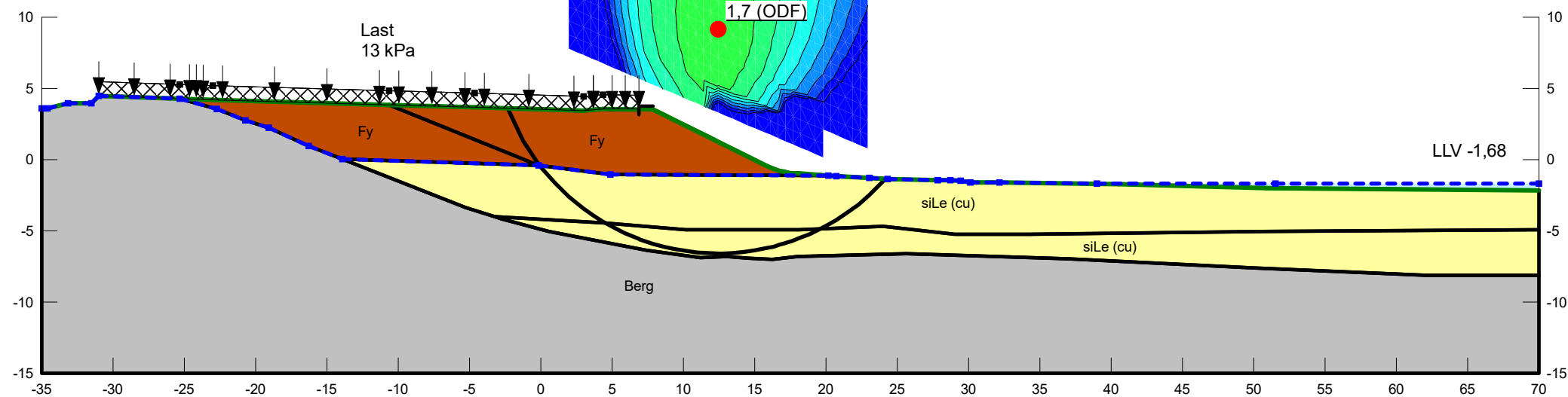
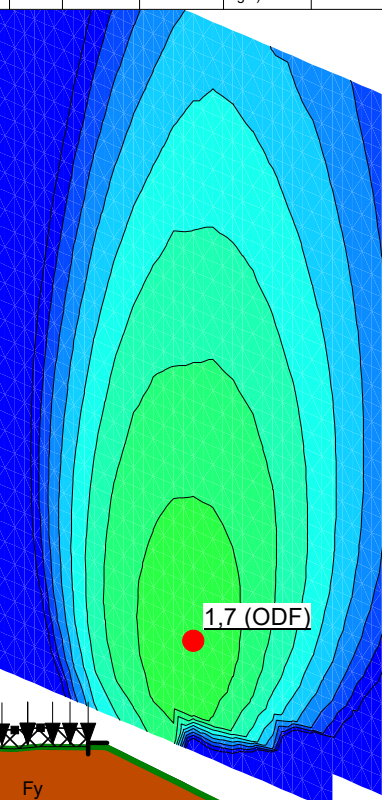
Permanent: 1

Variabel: 1

Partialfaktorer for jordparametere

Frikjonsvinkel ( $\phi'$ ): 1Effektiv cohesjon ( $c'$ ): 1Udrernt skjærfasthet ( $c_u$ ): 1

Color	Name	Model	Unit Weight (kN/m³)	C-Top of Layer (kPa)	C-Rate of Change ((kN/m³)/m)	C-Maximum (kPa)	Anisotropic Strength Fn	Cohesion' (kPa)	$\Phi'$ (°)	Constant Unit Wt. Above Water Table (kN/m³)
Grey	Berg	Bedrock (Impenetrable)								
Orange	Fy	Mohr-Coulomb	21					1	42	19
Yellow	siLe (cu)	S=f(depth)	20,5	40	2	0	ADP (Left to right)			





GOLDER

OBJEKT

Fv17 Holm ferjeleie

FASE

Detaljprosjektering

SNITT

Sektion 0/160

ANALYSE

1. Drenert analyse

BESKRIVELSE

Stabilitet uten trykkbank

OPPDRAG

Fv17 Holm ferjeleie-oppstillingsplass

OPPDRAGSNUMMER

10334661

OPPDRAGSGIVER

Nordland fylkeskommune

ANALYSEDATA

Analyses type: Analys med global sikkerhetsfaktor  
Beregningsmetode: Morgenstern-Price (optimization: No)

GV &amp; poretrykk: Piezometric Line

Glideflater: Grid and Radius, Left to Right

Sist lagret: 2022-05-24, 11:37:33

1corp.pbwain.net\SE\Projects\3343\10334661 - Fv17 Holm ferjeleie\Berakninger\Geoteknik\Stabilitet\Seksn 0\_160\_utan bortskrivning.gaz

Color	Name	Model	Unit Weight (kN/m³)	Cohesion' (kPa)	Phi' (°)	Constant Unit Wt. Above Water Table (kN/m³)
Grey	Berg	Bedrock (Impenetrable)				
Orange	Fr	Mohr-Coulomb	20	0	36	19
Brown	Fy	Mohr-Coulomb	21	1	42	19
Yellow	SiLe (drenert)	Mohr-Coulomb	20,5	5	26	19

VEDLEGG

MÅlestokk  
1:400

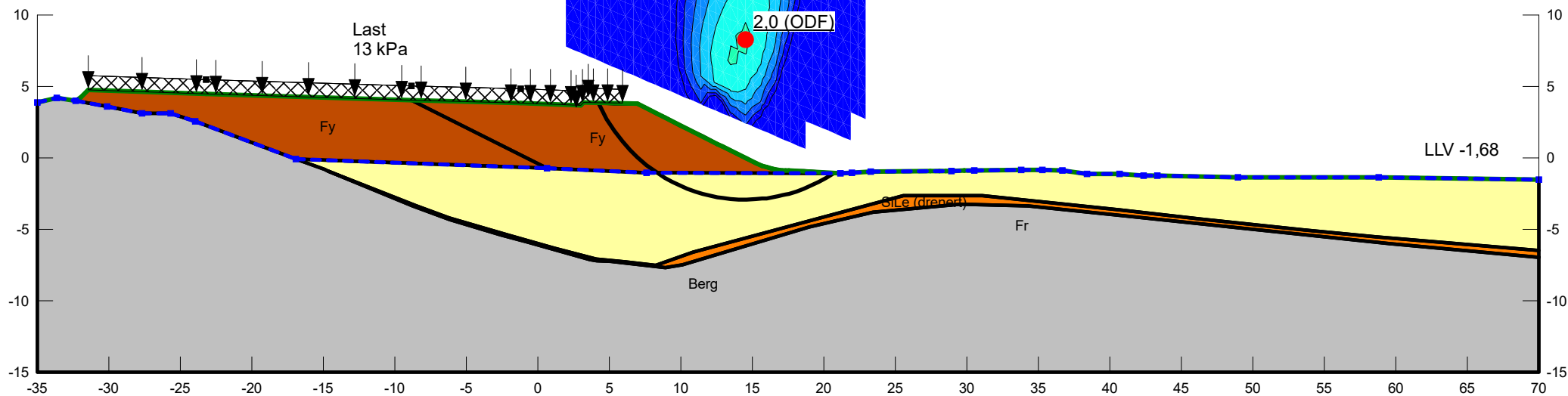
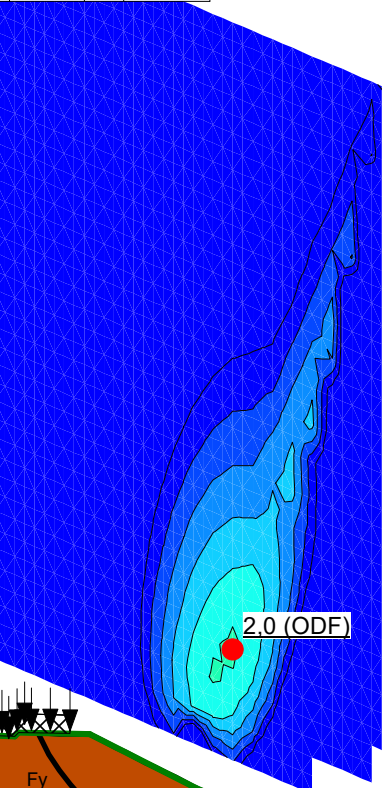
Analyse med global sikkerhetsfaktor

Påvirkning

Permanent: 1

Variabel: 1

Partialfaktorer for jordparametere

Frikjonsvinkel ( $\phi'$ ): 1Effektiv cohesjon ( $c'$ ): 1Udrenert skjærfasthet ( $c_u$ ): 1



GOLDER

OBJEKT

Fv17 Holm ferjeleie

FASE

Detaljprosjektering

SNITT

Sektion 0/160

ANALYSE

1. Utdrenert analyse

BESKRIVELSE

Stabilitet uten trykksbank

OPPDRAG

Fv17 Holm ferjeleie-oppstillingsplass

OPPDRAGSNUMMER

10334661

OPPDRAGSGIVER

Nordland fylkeskommune

ANALYSEDATA

Analysesett type: Analysen med global sikkerhetsfaktor

Beregningsmetode: Morgenstern-Price (optimization: No)

GV &amp; poretrykk: Piezometric Line

Glideflater: Grid and Radius, Left to Right

Sist lagret: 2022-05-24, 11:37:33

C:\corp\pbwain\nehnSE\Projects\3343\10334661 - Fv17 Holm ferjeleie\Berakninger\Goderak\Stabilitet\Seksn 0\_160\_utan\_bortskriving.gaz

Color	Name	Model	Unit Weight (kN/m³)	C-Top of Layer (kPa)	C-Rate of Change ((kN/m²)/m)	C-Maximum (kPa)	Anisotropic Strength Fn	Cohesion' (kPa)	Phi' (°)	Constant Unit Wt. Above Water Table (kN/m³)
Grey	Berg	Bedrock (Impenetrable)								
Orange	Fr	Mohr-Coulomb	20				0	36	19	
Brown	Fy	Mohr-Coulomb	21				1	42	19	
Yellow	silje (cu)	S=f(depth)	20,5	15	3	0	ADP (Left to right)			

VEDLEGG

MALESTOKK

1:400

Analyse med global sikkerhetsfaktor

Påvirkning

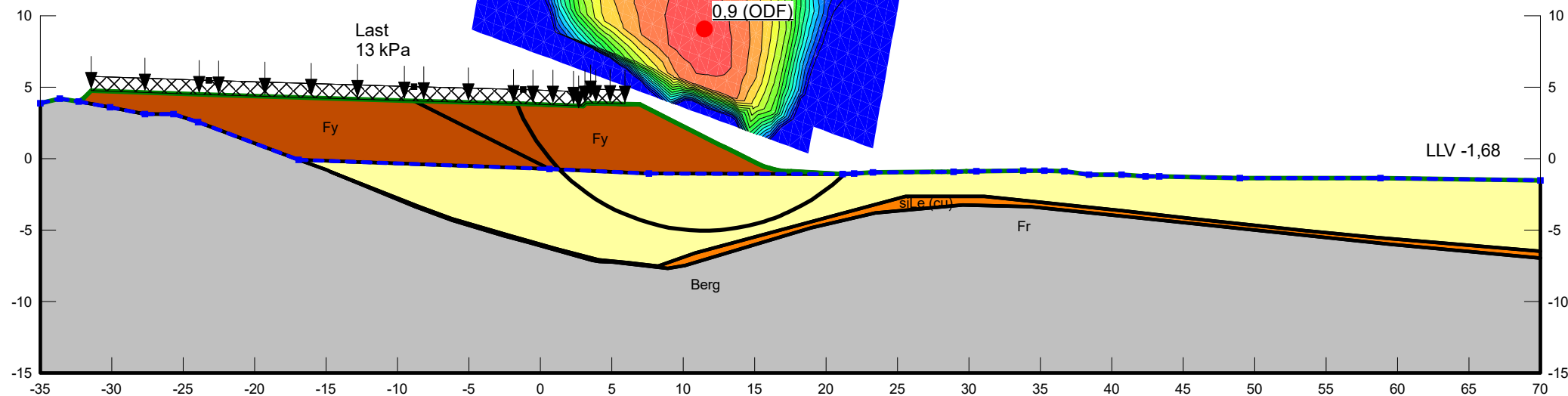
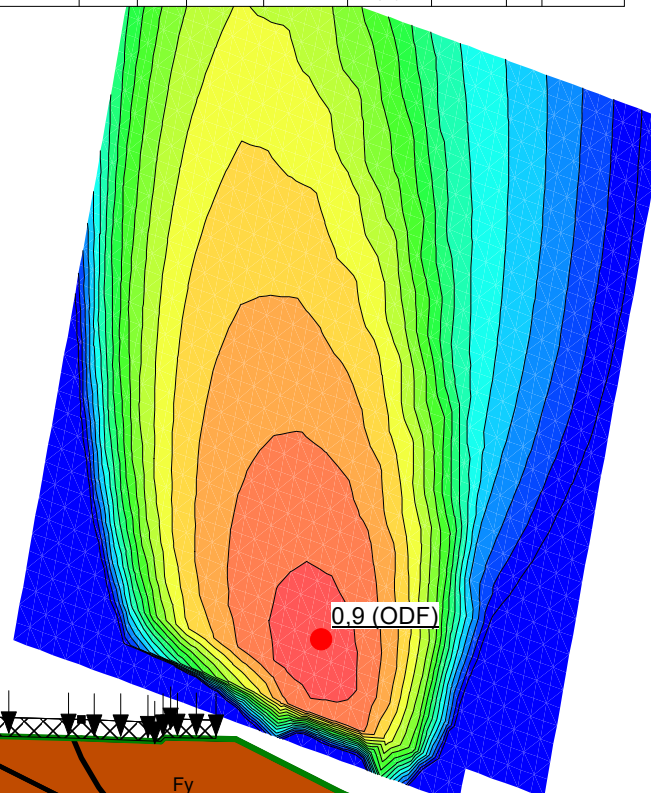
Permanent: 1

Variabel: 1

Partialfaktorer for jordparametere

Frikjonsvinkel ( $\phi'$ ): 1Effektiv cohesjon ( $c'$ ): 1

Utdrenert skjærfasthet (cu): 1





# GOLDER

OBJEKT

Fv17 Holm ferjeleie

FASE

Detaljprosjektering

SNITT

Sektion 0/160

ANALYSE

2. Drenert analyse

BESKRIVELSE

Stabilitet med trykksbank

OPPDRAG

Fv17 Holm ferjeleie-oppstillingsplass

OPPDRAGSNUMMER

10334661

OPPDRAGSGIVER

Nordland fylkeskommune

ANALYSEDATA

Analysesett type: Analysen med global sikkerhetsfaktor  
Beregningsmetode: Morgenstern-Price (optimization: No)

GV &amp; poretrykk: Piezometric Line

Glideflater: Grid and Radius, Left to Right

Sist lagret: 2022-05-24, 07:54:08

C:\corp\pbwain\netSER\Projects\3343\10334661 - Fv17 Holm ferjeleie\5\_Beregninger\Geoteknik\Stabilitet\Seksn 0\_160.mcad\bergslitasjon.gaz

Color	Name	Model	Unit Weight (kN/m³)	Cohesion' (kPa)	Phi' (°)	Constant Unit Wt. Above Water Table (kN/m³)
Grey	Berg	Bedrock (Impenetrable)				
Orange	Fr	Mohr-Coulomb	20	0	36	19
Brown	Fy	Mohr-Coulomb	21	1	42	19
Yellow	SiLe (drenert)	Mohr-Coulomb	20,5	5	26	19

VEDLEGG

MÅlestokk  
1:400

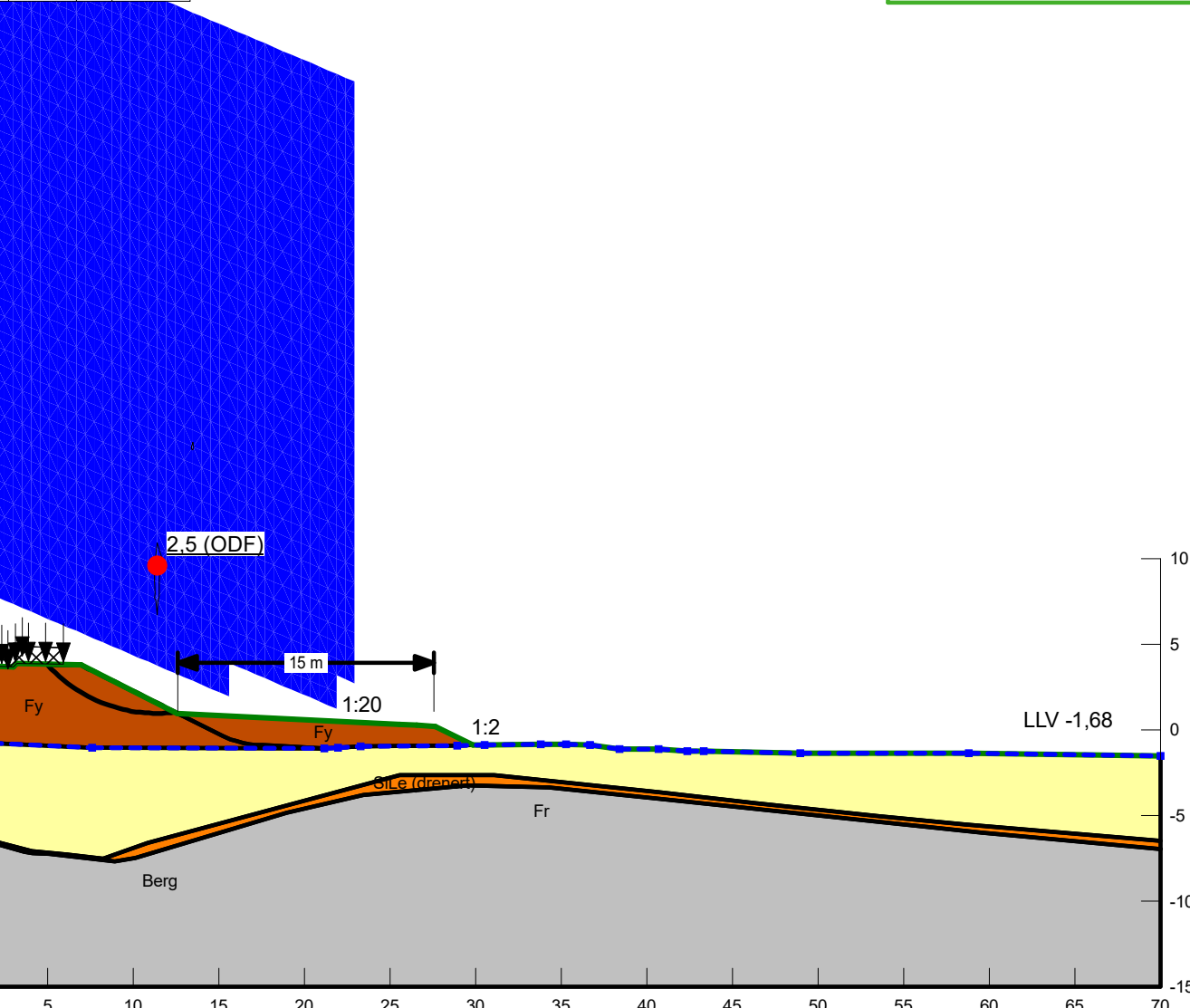
Analyse med global sikkerhetsfaktor

Påvirkning

Permanent: 1

Variabel: 1

Partialfaktorer for jordparametere

Frikjonsvinkel ( $\phi'$ ): 1Effektiv cohesjon ( $c'$ ): 1Udrenert skjærfasthet ( $c_u$ ): 1



GOLDER

OBJEKT

Fv17 Holm ferjeleie

FASE

Detaljprosjektering

SNITT

Sektion 0/160

ANALYSE

2. Udrernt analyse

BESKRIVELSE

Stabilitet med trykbank

OPPDRAG

Fv17 Holm ferjeleie-oppstillingsplass

OPPDRAGSNUMMER

10334661

OPPDRAGSGIVER

Nordland fylkeskommune

ANALYSEDATA

Analysesett type: Analyse med global sikkerhetsfaktor

Beregningsmetode: Morgenstern-Price (optimization: No)

GV &amp; poretrykk: Piezometric Line

Glideflater: Grid and Radius, Left to Right

Sist lagret: 2022-05-24, 07:54:08

C:\corp\pbw\en\SE\Projects\3343\10334661 - Fv17 Holm ferjeleie\Berakninger\Goderik\Stabilitet\Seksn 0\_160.mcad\berakning.gaz

Color	Name	Model	Unit Weight (kN/m³)	C-Top of Layer (kPa)	C-Rate of Change ((kN/m³)/m)	C-Maximum (kPa)	Anisotropic Strength Fn	Cohesion' (kPa)	Phi' (°)	Constant Unit Wt. Above Water Table (kN/m³)
Grey	Berg	Bedrock (Impenetrable)								
Orange	Fr	Mohr-Coulomb	20				0	36	19	
Brown	Fy	Mohr-Coulomb	21				1	42	19	
Yellow	siLe (cu)	S=f(depth)	20,5	15	3	0	ADP (Left to right)			

VEDLEGG

MÅlestokk

1:400

Analyse med global sikkerhetsfaktor

Påvirkning

Permanent: 1

Variabel: 1

Partialfaktorer for jordparametere

Frikjonsvinkel ( $\phi'$ ): 1Effektiv cohesjon ( $c'$ ): 1

Udrernt skjærfasthet (cu): 1

